УДК: 621.311.1:502.172.3

C.M. Асанова $^1$ ,  $\underline{a\_sm07@kstu.kg}$ , T.Ж. Жабудаев $^1$ , Д.У. Асанова $^2$ , M.C. Асанов $^1$ , A.Б. Калмурзаев $^2$ , K. Сатаркулов $^2$ ,  $\underline{satarkulov46k@mail.ru}$ 

### МЕТОДИКА РАЗРАБОТКИ АЛГОРИТМА ОПТИМАЛЬНОГО СИТУАЦИОННОГО УПРАВЛЕНИЯ ЭНЕРГЕТИЧЕСКИМ БАЛАНСОМ В АВТОМАТИЗИРОВАННЫХ РАСПРЕДЕЛЕННЫХ ГИБРИДНЫХ **ЭНЕРГОКОМПЛЕКСАХ**

Принятая в настоящей работе структура системы накопления и распределения потоков мощностей

НРПМ позволяет обеспечить простоту изменения ее конфигурации путем добавления/исключения в ее состав тех или иных компонентов (балластные источники БИ, балластные нагрузки БН, генерирующие установки с ВИЭ и нагрузи разного типа), а также добавление/исключение возможности взаимодействия НРПМ с глобальной сетью ГС. Для принятой структуры построена математическая модель с учетом ситуаций, возникающих в процессе циркуляции потоков в системе НРПМ, сформулирована задача синтеза алгоритма оптимального ситуационного управления АОСУ энергетическим балансом в ней и предложена схема ее решения, которая позволяет получить многоуровневый алгоритм  $G_{\text{ADCY}} g_m$ , m = 0, 1, ..., M-1, состоящий из последовательно функционирующих алгоритмов, т.е.  $G_{\text{ADTY},9_m} \colon G_{\text{ШСР},9_m} \xrightarrow{i_{s,n}^{(1)}(9_m)} G_{\text{AKB1},9_m} \xrightarrow{i_{s,n}^{(2)}(9_m)} G_{\text{AKB2},9_m} \xrightarrow{i_{s,n}^{(3)}(9_m)} G_{\text{БИ,БҢ},9_m} \xrightarrow{i_{\text{IC}}^{(7)}(9_m)}$ , выполняющих следующие функции:  $G_{\text{ШСР},9_m} -$  поддержание текущей величины напряжения конденсатора  $u_{\text{ШСР}}(\theta_m)$  (узла – шины сборки и распределения ШСР) путем выдачи оптимального управляющего воздействия в виде балансирующего тока  $i_{\text{бал}}^{(1)}(\theta_m);$   $G_{\text{АКБ1}}, g_m$ ,  $G_{\text{АКБ2}}, g_m$ ,  $G_{\text{БИ}, БН}, g_m$  — оптимальные ситуационные алгоритмы для последовательной реализации балансирующего тока  $i_{\text{бал}}^{(1)}(\theta_m)$  с использованием элементов системы НРПМ, соответственно, (АКБ1(1), АКБ1(2)), (АКБ2(1), АКБ2(2)), (БИ, БН) с целью поддержания перетока  $i_{\Gamma \Sigma}^{(+,-)}(\theta_m)$  между ГС и НРПМ в окрестности номинального  $i_{\Gamma \Sigma}^{\text{вом}}(\theta_m)$ . Алгоритм  $G_{\text{ADZY},9_m}$  обладает, что при подборе и изменении конфигурации системы НРПМ на этапе проектирования систем АРГЭК для различных регионов с соответствующими им ВИЭ его структура легко модифицируется, что важно при создании системы

*Ключевые слова*: автоматизированные распределенные гибридные энергокомплексы; возобновляемые интеллектуальные источники энергии; системы; надежность; энергетический баланс; аккумуляторная батарея; мощность; алгоритм; оптимизация; прогнозирование; ситуация; управление.

автоматизированного проектирования автоматизированных распределенных гибридных энергокомплексов

### Введение

АРГЭК.

На современном этапе одной из важнейших задач развития экономики регионов тех или иных стран (в частности, Кыргызской Республики) является повышение эффективности работы их систем электроэнергетики. Этого можно достичь, решив множество задач, возникающих при проектировании и эксплуатации электроэнергетической системы.

Приоритетным и перспективным направлением развития и повышения эффективности современной энергетики разработка является внедрение региональных энергокомплексов автоматизированных распределенных гибридных  $(AP\Gamma \ni K)$ возобновляемыми источниками энергии (ВИЭ), функционирующих во взаимодействии с глобальной (общегосударственной) сетью (ГС) [1]. Частный случай, когда система АРГЭК не имеет доступа к ГС, рассмотрена, например, в работах [2-4].

В вышеуказанной работе [1] разработано и приведено содержательное описание методики проектирования интеллектуальных систем АРГЭК, включающее в себя следующие

- разработка структуры распределенной гибридной системы генерации (РГСГ), состоящая, в свою очередь, из распределенных систем ветряных генераторов (ВГ), гидрогенераторов (ГГ) и солнечных батарей (СБ), вырабатываемые мощности которых

 $<sup>^{1}</sup>$ КГТУ им. И.Раззакова,

 $<sup>^2</sup>$ Институт машиноведения и автоматики НАН КР

передаются с помощью двухпроводной локальной сети ( $\Pi C_{P\Gamma C\Gamma}$ ) с древовидной структурой, где корнем графа сети является шина сборки и распределения (ШСР) системы накопления и распределения потоков мощностей (НРПМ), а концевыми узлами — узлы присоединения генерирующих агрегатов с системы солнечных батарей. В работе [5] рассмотрена задача синтеза оптимальной структуры системы РГСГ, обеспечивающей требуемый уровень генерируемой мощности, минимальную стоимость и необходимую функциональную надежность. В работе [6] рассмотрена задача автоматического распознавания обрыва провода на участках локальной сети  $\Pi C_{P\Gamma C\Gamma}$ , построенной с использованием многофункционального провода, состоящего из силового провода и изолированной жилы информационного провода [7];

- разработка трехфазной сложнозамкнутой локальной сети  $ЛС_{\Pi \Im}$  со следующими свойствами: с заданным уровнем надежности; распознающей обрывы проводов на ее участках [6]; с управляемой структурой, позволяющей изменять маршруты движения потоков мощностей от узла ШСР до распределенных потребителей энергии (ПЭ) при существенных изменениях нагрузок в тех или иных узлах нагрузки, а также при обрывах линий отдельных участков с целью минимизации потерь мощности в рассматриваемой сети  $ЛС_{\Pi \Im}$  [8];
- разработка структуры управляемой системы накопления и распределения потоков мошностей (НРПМ) с целью обеспечения физической реализуемости и повышения надежности процесса управления энергетическим балансом в нем [9]. При этом обеспечение физической реализуемости процесса управления энергетическим балансом, т.е. поддержание текущей потребляемой мощности потребителями в окрестности требуемой номинальной мощности, достигается за счет поддержания напряжения конденсатора, подключенного к узлу ШСР, в окрестности номинального, а повышение надежности – за счет подключения к узлу ШСР накопителя АКБ с двухуровневой двухконтурной структурой АКБi(j),  $i \in \{1, 2\}$ ,  $j \in \{1, 2\}$ , где i – номер уровня; j – номер контура; АКБ1(j),  $j \in \{1, 2\}$  – двухконтурный накопитель 1-го уровня для управления балансом мощностей в НРПМ при номинальном режиме АРГЭК, при изменении мощностей ВИЭ и потребления в пределах их доверительных интервалов, оцененных на этапе проектирования; AKE2(j),  $j \in \{1,2\}$  – двухконтурный накопитель 2-го уровня для согласования режимов работ НРПМ и ГС и для управления совместно с накопителем AKEI(j),  $j \in \{1,2\}$  1-го уровня,  $\Gamma C$ ,  $\Pi \Gamma$ ,  $\Pi F$ , балансом мощностей в НРПМ при аварийном режиме АРГЭК, а также при выходе мощностей ВИЭ и потребления за пределы их доверительных интервалов. При этом поочередная работа параллельных контуров в режиме зарядки/разрядки продлевает срок службы системы АКБ.

Настоящая работа основывается на работах [1,5,6,8,9,10,16], является дальнейшим их развитием и посвящена разработке алгоритма оптимального ситуационного управления энергетическим балансом в управляемой системе НРПМ с целью поддержания текущей потребляемой мощности региональными потребителями в окрестности требуемой номинальной, а также поддержания текущего перетока мощности между НРПМ и ГС в окрестности заданной величины для сохранения динамической устойчивости электроэнергетической системы (ЭЭС) в целом (при существенных отклонениях возможно обрушение энергосистемы вплоть до «блекаута») с использованием математического аппарата вычислительных сетей Петри (ВСП) [13-15].

## 1. Функциональная схема замкнутой цифровой системы управления энергетическим балансом в управляемой системе НРПМ

Как было сказано выше, в работе [9] произведен выбор и обоснование структуры системы НРПМ как объекта управления с позиции обеспечения физической реализуемости и повышения надежности процесса управления энергетическим балансом в ней, где предложенная структура обеспечивает простоту изменения ее конфигурации путем

добавления и исключения элементов в зависимости от мощности ВИЭ в рассматриваемых регионах. Такая структура является также удобной при разработке систем автоматизированного проектирования (САПР) замкнутых цифровых систем управления сложными электросетевыми комплексами как при нормальных, так и при аварийных режимах ее функционирования.

Построение алгоритма оптимального ситуационного управления (АОСУ) энергетическим балансом в управляемой системе НРПМ производится в рамках структуры замкнутой цифровой системы управления, функциональная схема которой показана на рисунке 1.

- **1.1.** Управляемая система НРПМ (объект управления) на рисунке 1 представлена в виде графа ее структуры [1], где:
  - $\theta_m$ , m = 0, 1, 2 ... дискретные моменты времени с дискретой  $\Delta \theta$ ;
- $i_{\Gamma}(\theta_m)$  неуправляемый ток, соответствующий неуправляемой суммарной мощности  $W_{\Gamma}(\theta_m)$ :

$$W_{\Gamma}(\theta_m) = W_{\mathrm{B}\Gamma}(\theta_m) + W_{\mathrm{CB}}(\theta_m) + W_{\Gamma\Gamma}(\theta_m), \tag{1}$$

вырабатываемой системой РГСГ, состоящей из региональных распределенных систем ветряных генераторов ВГ, солнечных батарей СБ и гидрогенераторов ГГ. Ток  $i_{\Gamma}(\theta_m)$  имеет стохастический (непредсказуемый) характер ввиду стохастичности ВИЭ. Для снятия проблемы синхронизации мощностей переменного тока, вырабатываемых генерирующими агрегатами системы РГСГ, они преобразованы в мощности постоянного тока;

-  $i_{\Pi}(\theta_m)$  — неуправляемый ток, соответствующий неуправляемой суммарной потребляемой мощности переменного тока  $W_{\Pi}(\theta_m)$ :

$$W_{\Pi}(\theta_m) = \sum_{j \in N_{\Pi \ni j}} W_{\Pi \ni j}(\theta_m) + \Delta W_{\Pi \square}(\theta_m), \tag{2}$$

потребляемой подмножеством электроприборов, случайным образом формирующимся из элементов некоторого универсального множества и подключающимся к узлам нагрузки трехфазной локальной сети  $\mathcal{N}_{\Pi \ni}$ , предназначенной для транспортировки мощности  $W_{\Pi}(\theta_m)$  до потребителей энергии (ПЭ), где  $N_{\Pi \ni}$  – множество номеров узлов нагрузки  $\mathcal{N}_{\Pi \ni}$ ;  $W_{\Pi \ni i}(\theta_m)$  – мощность j-го узла нагрузки;  $\Delta W_{\Pi \square}(\theta_m)$  – потеря мощности в  $\mathcal{N}_{\Pi \ni}$ . Потребляемый ток  $i_{\Pi}(\theta_m)$  имеет стохастический (непредсказуемый) характер ввиду стохастичности потребляемой мощности  $W_{\Pi}(\theta_m)$ ;

-  $u_{\text{ШСР}}(\theta_m)$  – напряжение конденсатора с емкостью  $C_{\text{ШСР}}$ , подключенного к узлу ШСР и предназначенного для поддержания текущей потребляемой мощности  $W_{\Pi}(\theta_m)$  (тока  $i_{\Pi}(\theta_m)$ ) в окрестности номинального значения  $W_{\Pi}^{\text{ном}}(\theta_m)$  ( $i_{\Pi}^{\text{ном}}(\theta_m)$ ) путем поддержания текущего напряжения  $u_{\text{ШСР}}(\theta_m)$  в окрестности номинального  $u_{\text{ШСР}}^{\text{ном}}$ ;

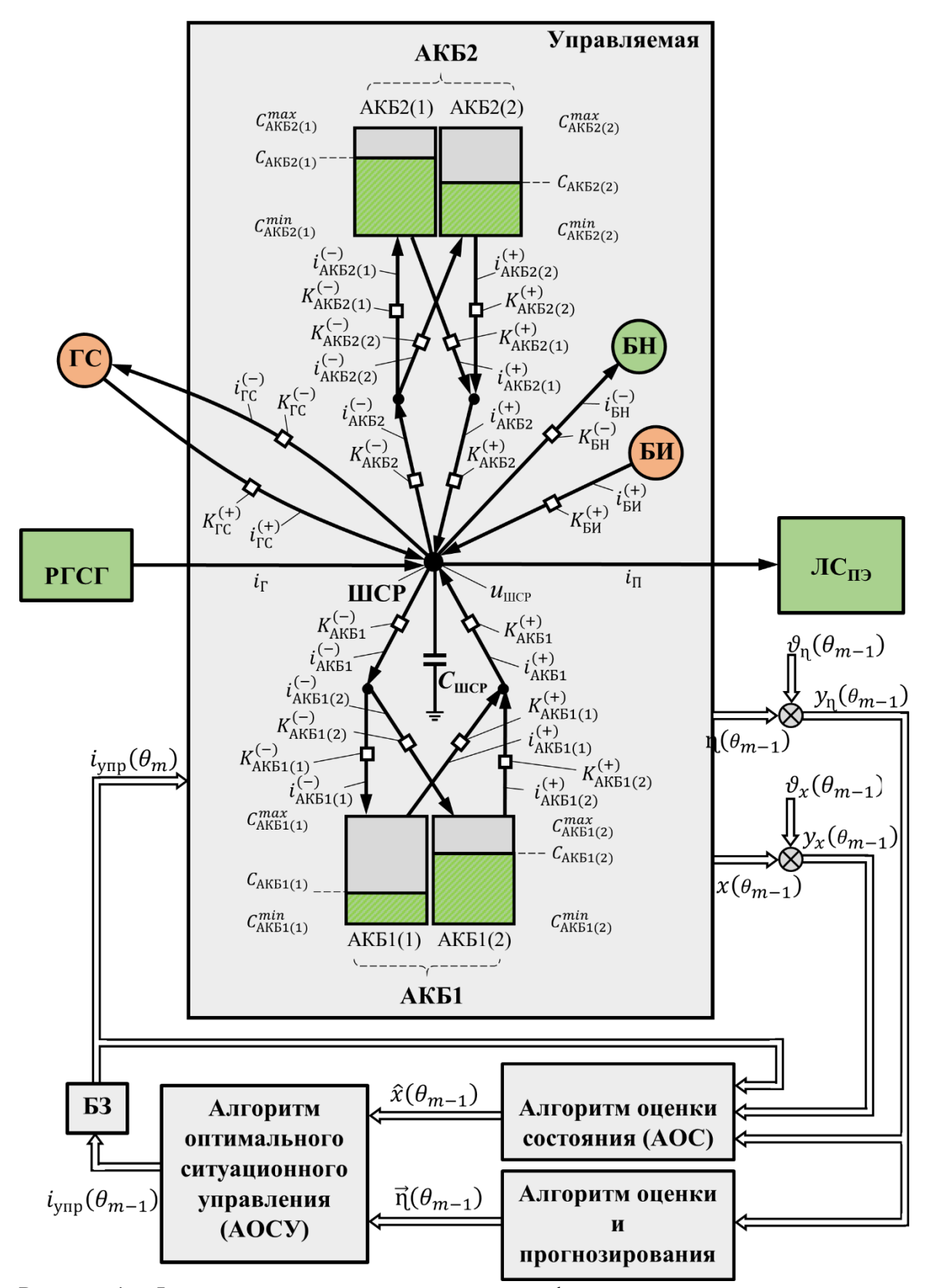


Рисунок 1 — Функциональная схема замкнутой цифровой системы управления энергетическим балансом в системе HPПМ

-  $i_{\text{AKE1}}^{(-)}(\theta_m)$ ,  $i_{\text{AKE1}}^{(-)}(\theta_m)$  — соответственно зарядный, разрядный управляемые токи системы аккумуляторных батарей 1-го уровня АКБ1, предназначенные для управления энергетическим балансом в управляемой системе НРПМ при нормальных режимах функционирования систем РГСГ,  $\mathcal{N}_{\text{ПЭ}}$  и изменении потенциальных мощностей ВИЭ и

мощности потребления  $W_{\Pi}(\theta_m)$  в пределах их доверительных интервалов, оцененных на основе статических данных на этапе синтеза оптимальной структуры системы РГСГ [9]. Включение в режим зарядки/разрядки и отключение АКБ1 моделируется состоянием условных двухпозиционных ключей  $K_{\text{AKE1}}^{(-)}(\theta_m) \in \{0,1\}, \ K_{\text{AKE1}}^{(-)}(\theta_m) \in \{0,1\}$  следующим образом:  $K_{\text{AKE1}}^{(-)}(\theta_m) = 1, \ K_{\text{AKE1}}^{(-)}(\theta_m) = 0$  – режим зарядки;  $K_{\text{AKE1}}^{(-)}(\theta_m) = 0, \ K_{\text{AKE1}}^{(-)}(\theta_m) = 1$  – режим разрядки;  $K_{\text{AKE1}}^{(-)}(\theta_m) = 0$  ,  $K_{\text{AKE1}}^{(-)}(\theta_m) = 0$  – отключение АКБ1 (0 – дуга графа отключена, 1 – включена);

- АКБ1(1), АКБ1(2) две идентичные аккумуляторные батареи накопителя 1-го уровня АКБ1, поочередно работающие в режиме зарядки/разрядки;
- $-i_{AKE1(1)}^{(-)}(\theta_m), i_{AKE1(2)}^{(-)}(\theta_m)$  соответственно зарядный управляемый ток 1-го контура АКБ1(1), разрядный управляемый ток 2-го контура АКБ1(2) накопителя 1-го уровня АКБ1, когда параллельные контуры АКБ1(1), АКБ1(2) работают в режиме соответственно зарядки, разрядки. Включение в данный режим моделируется состоянием условных двухпозиционных ключей  $K_{AKE1(1)}^{(-)}(\theta_m) \in \{0,1\}, K_{AKE1(1)}^{(-)}(\theta_m) \in \{0,1\}, K_{AKE1(2)}^{(-)}(\theta_m) \in \{0,1\}, K_{AKE1(2)}^{(-)}(\theta_m) \in \{0,1\}, K_{AKE1(2)}^{(-)}(\theta_m) = 0, K_{AKE1(2)}^{(-)}(\theta_m) = 0, K_{AKE1(2)}^{(-)}(\theta_m) = 0, K_{AKE1(2)}^{(-)}(\theta_m) = 1;$
- $i_{AKB1(1)}^{(-)}(\theta_m), i_{AKB1(2)}^{(-)}(\theta_m)$  соответственно разрядный управляемый ток 1-го контура АКБ1(1), зарядный управляемый ток 2-го контура АКБ1(2) накопителя 1-го уровня АКБ1, когда параллельные контуры АКБ1(1), АКБ1(2) работают в режиме соответственно разрядки, зарядки. Включение в данный режим моделируется состоянием условных двухпозиционных ключей следующим образом:  $K_{AKB1(1)}^{(-)}(\theta_m) = 0, K_{AKB1(1)}^{(-)}(\theta_m) = 1, K_{AKB1(2)}^{(-)}(\theta_m) = 0;$
- $C_{AKE1(j)}(\theta_m)$ ,  $C_{AKE1(j)}^{max}$ ,  $C_{AKE1(j)}^{min}$ ,  $j \in \{1,2\}$  соответственно текущее состояние (остаточная емкость), полная емкость, минимальная емкость, характеризующая максимальную (допустимую) глубину разряда j-го контура AKE1(j) накопителя 1-го уровня AKE1.
- $i_{AKB2}^{(-)}(\theta_m)$ ,  $i_{AKB2}^{(-)}(\theta_m)$  соответственно зарядный, разрядный управляемые токи системы аккумуляторных батарей 2-го уровня АКБ2, предназначенные для управляемия энергетическим балансом в управляемой системе НРПМ совместно с управляемыми токами зарядки/разрядки системы АКБ1 1-го уровня, при аварийных режимах функционирования систем РГСГ, ЛС $_{\Pi \ni}$  и выходе потенциальных мощностей ВИЭ (1) и мощности потребления  $W_{\Pi}(\theta_m)$  (2) за пределы их доверительных интервалов, оцененных на основе статистических данных на этапе синтеза оптимальной структуры системы РГСГ [9]. Включение в режим зарядки/разрядки и отключение АКБ2 моделируется состоянием условных двухпозиционных ключей  $K_{AKB2}^{(-)}(\theta_m) \in \{0,1\}, \quad K_{AKB2}^{(-)}(\theta_m) \in \{0,1\}$  следующим образом:  $K_{AKB2}^{(-)}(\theta_m) = 1$ ,  $K_{AKB2}^{(-)}(\theta_m) = 0$  режим зарядки;  $K_{AKB2}^{(-)}(\theta_m) = 0$ ,  $K_{AKB2}^{(-)}(\theta_m) = 1$  режим разрядки;  $K_{AKB2}^{(-)}(\theta_m) = 0$ ,  $K_{AKB2}^{(-)}(\theta_m) = 0$  отключение АКБ2 (0 дуга графа отключена, 1 включена);
- АКБ2(1), АКБ2(2) две идентичные аккумуляторные батареи накопителя 2-го уровня АКБ2, поочередно работающие в режиме зарядки/разрядки;
- $i_{AKB2(1)}^{(-)}(\theta_m), i_{AKB2(2)}^{(-)}(\theta_m)$  соответственно зарядный управляемый ток 1-го контура АКБ2(1), разрядный управляемый ток 2-го контура АКБ2(2) накопителя 2-го уровня АКБ2, когда параллельные контуры АКБ2(1), АКБ2(2) работают в режиме соответственно зарядки, разрядки. Включение в данный режим моделируется состоянием условных двухпозиционных ключей  $K_{AKB2(1)}^{(-)}(\theta_m) \in \{0,1\}, K_{AKB2(2)}^{(-)}(\theta_m) \in \{0,1\}, K_{AKB2(2)}^{(-)}(\theta_m) \in \{0,1\},$

$$K_{\mathrm{AKB2(2)}}^{(-)}(\theta_m) \in \{0,1\}$$
 следующим образом:  $K_{\mathrm{AKB2(1)}}^{(-)}(\theta_m) = 1$ ,  $K_{\mathrm{AKB2(1)}}^{(-)}(\theta_m) = 0$ ,  $K_{\mathrm{AKB2(2)}}^{(-)}(\theta_m) = 1$ ;

- $i_{AKB2(1)}^{(-)}(\theta_m), i_{AKB2(2)}^{(-)}(\theta_m)$  соответственно разрядный управляемый ток 1-го контура АКБ2(1), зарядный управляемый ток 2-го контура АКБ2(2) накопителя 2-го уровня АКБ2, когда параллельные контуры АКБ2(1), АКБ2(2) работают в режиме соответственно разрядки, зарядки. Включение в данный режим моделируется состоянием условных двухпозиционных ключей следующим образом:  $K_{AKB2(1)}^{(-)}(\theta_m) = 0, K_{AKB2(1)}^{(-)}(\theta_m) = 1, K_{AKB2(2)}^{(-)}(\theta_m) = 1, K_{AKB2(2)}^{(-)}(\theta_m) = 0;$
- $C_{AKE2(j)}(\theta_m)$ ,  $C_{AKE2(j)}^{max}$ ,  $C_{AKE2(j)}^{min}$ ,  $j \in \{1,2\}$  соответственно текущее состояние (остаточная емкость), полная емкость, минимальная емкость, характеризующая максимальную (допустимую) глубину разряда j-го контура AKE2(j) накопителя 2-го уровня AKE2:
- $i_{\mathsf{BU}}^{(-)}(\theta_m), i_{\mathsf{BH}}^{(-)}(\theta_m)$  соответственно управляемый ток, соответствующий управляемой резервной мощности  $W_{\mathsf{BU}}^{(-)}(\theta_m)$ , вырабатываемой балансирующим источником (БИ) энергии и управляемый ток, соответствующий управляемой мощности  $W_{\mathsf{BH}}^{(-)}(\theta_m)$ , потребляемой резервной балансирующей нагрузкой БН. Здесь БИ и БН используются как резервные оборудования для управления энергетическим балансом в системе НРПМ совместно с АКБ1, АКБ2 при аварийных режимах функционирования систем РГСГ, ЛС  $_{\mathsf{II}}$  и при существенном выходе мощностей ВИЭ (1) и мощности потребления  $W_{\mathsf{II}}(\theta_m)$  (2) за пределы их доверительных интервалов, оцененных на основе статистических данных на этапе синтеза оптимальной структуры РГСГ [9]. Включение/отключение БН и БИ моделируется состоянием условных двухпозиционных ключей следующим образом:  $K_{\mathsf{BH}}^{(-)}(\theta_m) = \mathbf{0}$ ,  $K_{\mathsf{BU}}^{(-)}(\theta_m) = 1$  БН отключена, БИ включен;  $K_{\mathsf{BH}}^{(-)}(\theta_m) = 1$ ,  $K_{\mathsf{BU}}^{(-)}(\theta_m) = 0$  БН включена, БИ отключены.
- $i_{\Gamma C}^{(-)}(\theta_m)$ ,  $i_{\Gamma C}^{(-)}(\theta_m)$  соответственно управляемый ток, соответствующий управляемому перетоку мощности  $W_{\Gamma C}^{(-)}(\theta_m)$  от  $\Gamma C$  к НРПМ, управляемый ток, соответствующий управляемому перетоку мощности  $W_{\Gamma C}^{(-)}(\theta_m)$  от НРПМ к  $\Gamma C$ . При этом результирующий ток  $i_{\Gamma C}^{(-,-)}(\theta_m)$ :

$$i_{\Gamma\Gamma}^{(-,-)}(\theta_m) = K_{\Gamma\Gamma}^{(-)}(\theta_m) \cdot i_{\Gamma\Gamma}^{(-)}(\theta_m) - K_{\Gamma\Gamma}^{(-)}(\theta_m) \cdot i_{\Gamma\Gamma}^{(-)}(\theta_m)$$
 (3)

должен соответствовать в каждый текущий момент времени  $\theta_m$  заданному результирующему графику перетока мощности  $W_{\Gamma C}^{(-,-)}(\theta_m)$  между  $\Gamma C$  и НРПМ для сохранения динамической устойчивости ЭЭС в целом. Включение в режимы перетока от  $\Gamma C$  к НРПМ, от НРПМ к  $\Gamma C$  и отключение НРПМ от  $\Gamma C$  моделируется состоянием условных двухпозиционных ключей следующим образом:  $K_{\Gamma C}^{(-)}(\theta_m) = 0$ ,  $K_{\Gamma C}^{(-)}(\theta_m) = 1$  — переток от  $\Gamma C$  к НРПМ;  $K_{\Gamma C}^{(-)}(\theta_m) = 1$ ,  $K_{\Gamma C}^{(-)}(\theta_m) = 0$  — переток от НРПМ к  $\Gamma C$ ;  $K_{\Gamma C}^{(-)}(\theta_m) = 0$ ,  $K_{\Gamma C}^{(-)}(\theta_m) = 0$  — отключение НРПМ от  $\Gamma C$ ;

- из вышесказанного следует, что приоритетность включения элементов системы НРПМ к процессу управления энергетическим балансом в ней отражает следующая последовательность:

$$C_{\text{LIICP}} \longrightarrow AKE1 \longrightarrow AKE2 \longrightarrow (EU, EH) \longrightarrow \Gamma C.$$
 (4)

**1.2.** Контур управления функциональной схемы замкнутой цифровой системы, показанной на рисунке 1, в общем случае, включает:

-  $x(\theta_m)$  – вектор состояния управляемой системы НРПМ:

$$x(\theta_m) = \left(u_{\text{LIICP}}(\theta_m), \ C_{\text{AKB1}(1)}(\theta_m), C_{\text{AKB1}(2)}(\theta_m), C_{\text{AKB2}(1)}(\theta_m), C_{\text{AKB2}(2)}(\theta_m)\right); \tag{5}$$

-  $\eta(\theta_m)$  – вектор возмущения, действующий на управляемую систему НРПМ:

$$\eta(\theta_m) = (i_{\Gamma}(\theta_m), i_{\Pi}(\theta_m)); \tag{6}$$

-  $y_x(\theta_m)$ ,  $y_{\eta}(\theta_m)$  — соответственно вектор наблюдения за состоянием  $x(\theta_m)$  (5), вектор наблюдения за возмущением  $\eta(\theta_m)$  (6):

$$y_x(\theta_m) = x(\theta_m) + \vartheta_x(\theta_m), \tag{7}$$

$$y_{\eta}(\theta_m) = \eta(\theta_m) + \vartheta_{\eta}(\theta_m),$$
 (8)

где  $\vartheta_x(\theta_m)$ ,  $\vartheta_n(\theta_m)$  – векторы ошибок измерения с соответствующими размерностями;

 $-i_{y_{\Pi P}}(\theta_m)$  — вектор управления энергетическим балансом в управляемой системе HPПM:

$$\begin{split} i_{\text{ymp}}(\theta_{m}) &= (i_{\text{AKB1(1)}}^{(-)}(\theta_{m}), \ i_{\text{AKB1(1)}}^{(-)}(\theta_{m}), \ i_{\text{AKB1(2)}}^{(-)}(\theta_{m}), \ i_{\text{AKB1(2)}}^{(-)}(\theta_{m}), \\ i_{\text{AKB2(2)}}^{(-)}(\theta_{m}), \ i_{\text{AKB2(1)}}^{(-)}(\theta_{m}), \ i_{\text{AKB2(1)}}^{(-)}(\theta_{m}), \ i_{\text{AKB2(2)}}^{(-)}(\theta_{m}), \\ i_{\text{AKB2(2)}}^{(-)}(\theta_{m}), \ i_{\text{BH}}^{(-)}(\theta_{m}), \ i_{\text{BH}}^{(-)}(\theta_{m})); \end{split} \tag{9}$$

- АОС модуль в контуре управления, реализующий алгоритм  $G_{\text{AOC},\theta_m}$  оценки состояния управляемой системы НРПМ. В каждый текущий момент времени  $\theta_m$  на вход данного модуля поступают вектор наблюдения  $y_x(\theta_m)$  (7) за вектором состояния  $x(\theta_m)$  (5), вектор наблюдения  $y_{\eta}(\theta_m)$  (8) за вектором возмущения  $\eta(\theta_m)$  (6), вектор управления  $i_{\text{упр}}(\theta_m)$  энергетическим балансом в управляемой системе НРПМ. Выходом является оптимальная оценка  $\hat{x}(\theta_m)$  текущего вектора состояния  $x(\theta_m)$  (5) системы НРПМ;
- АОП модуль в контуре управления, реализующий алгоритм  $G_{\text{АОП},\theta_m}$  оценки и прогнозирования вектора возмущения, действующего на управляемую систему НРПМ. В каждый текущий момент времени  $\theta_m$  на вход данного модуля поступает вектор наблюдения  $y_{\eta}(\theta_m)$  (8) за вектором возмущения  $\eta(\theta_m)$  (6). Выходом является оценка текущего вектора возмущения (6) и его прогноз на определенный интервал времени:

$$\vec{\eta}(\theta_m) = \{\hat{\eta}(\theta_i | \theta_m) \mid l \in \{m, m+1, ..., m+M-1\}\} = \{(\hat{\iota}_{\Gamma}(\theta_i | \theta_m), \hat{\iota}_{\Pi}(\theta_i | \theta_m)) \mid l \in \{m, m+1, ..., m+M-1\}\},$$
(10)

где  $\theta_m, \theta_{m-M-1}$  — соответственно начало, конец интервала времени оценки и прогнозирования;  $\hat{\eta}(\theta_m) = \hat{\eta}(\theta_m | \theta_m)$  при l=m — текущая оценка вектора возмущения (6);  $\hat{\eta}(\theta_l | \theta_m), l > m$  — прогноз вектора возмущения (6);

- АОСУ – модуль в контуре управления, реализующий структурно и логически самоорганизующегося многокомпонентного алгоритма оптимального ситуационного управления энергетическим балансом в управляемой системе НРПМ с целью поддержания соответствующего текущей потребляемой мошности  $W_{\Pi}(\theta_m)$  $i_{\Pi}(\theta_m),$ окрестности номинального тока региональными потребителями, В соответствующего требуемой номинальной мощности  $W_{\Pi}^{\text{ном}}(\theta_m)$ , за счет поддержания текущего напряжения  $u_{\text{ШСР}}(\theta_m)$  в окрестности номинального  $u_{\text{ШСР}}^{\text{ном}}$ , а также обеспечение равенства текущего результирующего тока  $i_{\Gamma C}^{(-,-)}(\theta_m)$  (3) заданному (желаемому) току  $i_{\Gamma \Gamma}^{(-,-)*}(\theta_m)$ , соответствующему графику перетока мощности  $W_{\Gamma \Gamma}^{(-,-)*}(\theta_m)$  между  $\Gamma \Gamma$  и НРПМ для сохранения динамической устойчивости ЭЭС в целом. В каждый текущий момент времени  $\theta_m$  на вход данного модуля поступают в общем случае вектор оптимальной оценки состояния  $\hat{x}(\theta_m)$  из выхода модуля АОС, оценка и прогноз  $\vec{\eta}(\theta_m)$  (10) вектора возмущения (6) из выхода АОП. Выходом является вектор управления  $i_{\text{упр}}(\theta_m)$  (9). Тогда обобщенная структура алгоритма управления  $G_{\text{ADCY},\theta_m}$  примет следующий вид:

$$i_{\text{VIII}}(\theta_m) = G_{\text{ADCY},\theta_m}[\hat{x}(\theta_m), \vec{\eta}(\theta_m)]. \tag{11}$$

Такая структура соответствует многошаговой задаче оптимизации. При одношаговой задаче оптимизации необходимость в решении задачи прогнозирования вектора возмущения (6) отпадает. Тогда структура алгоритма примет следующий вид:

$$i_{\text{ynp}}(\theta_m) = G_{\text{ADCY},\theta_m}[\hat{x}(\theta_m), \hat{\eta}(\theta_m)], \tag{12}$$

где  $\hat{\eta}(\theta_m) = (\hat{\imath}_{\Gamma}(\theta_m), \hat{\imath}_{\Pi}(\theta_m))$  – оценка текущего вектора возмущения (6). Если же ошибки измерения цифровых датчиков существенно малы, то:

$$i_{\text{ymp}}(\theta_m) = G_{\text{ADCY},\theta_m}[x(\theta_m), \eta(\theta_m)],$$
 (13)

т.е. необходимость в решении задач оценки векторов состояния (5), возмущения (6) отпадает.

- БЗ — блок задержки, моделирующий время запаздывания  $au_{\rm KS}$  в контуре управления (КУ), т.е. время  $au_{\rm KS}$  от момента фиксации (измерения)  $heta_m - au_{\rm KS}$  вектора текущей информации:

$$y_{\text{KS}}(\theta_m - \tau_{\text{KS}}) = (y_x(\theta_m - \tau_{\text{KS}}), y_{\text{TL}}(\theta_m - \tau_{\text{KS}}))$$
(14)

до момента  $\theta_m$  реализации вектора управляющих воздействий  $i_{yttp}(\theta_m)$  (9), определенного, на основе информации  $y_{KY}(\theta_m - \tau_{KY})$  (14), (5), (6), с помощью вычислительных алгоритмов:

$$G_{\mathsf{K}\mathsf{V},\theta_{m},-\tau_{\mathsf{K}\mathsf{V}}}\colon G_{\mathsf{ADC},\theta_{m},-\tau_{\mathsf{K}\mathsf{V}}} \longrightarrow G_{\mathsf{AD\Pi},\theta_{m},-\tau_{\mathsf{K}\mathsf{V}}} \longrightarrow G_{\mathsf{ADC}\mathsf{V},\theta_{m},-\tau_{\mathsf{K}\mathsf{V}}}$$
(15)

реализованных на одной микропроцессорной системе. При этом величина запаздывания  $\tau_{\rm KS}$ , зависит от структуры организации процесса передачи информации  $y_{\rm KS}$ ,  $(\theta_m - \tau_{\rm KS})$  (14) по цифровому каналу связи и вычислительного процесса при реализации алгоритма  $G_{\rm KS}$ ,  $\theta_m - \tau_{\rm KS}$ . (15), а также зависит от следующих параметров: от размерностей  $r_{y_{\rm KS}} = r_{y_x} + r_{y_{\eta_z}} = |y_x| + |y_{\eta_z}|, \ r_{i_{y_{\eta p}}} = |i_{y_{\eta p}}|, \ \text{соответственно}, \ \text{векторов} \ y_{\rm KS}$ . (14),  $i_{y_{\eta p}}$  (9); от количества вычислительных операций  $O_{\rm G_{KY}} = O_{\rm G_{ADC}} + O_{\rm AOC}$ , алгоритма (15); от длины  $n_{\rm KO_A}$  кодовой комбинации ( $n_{\rm KO_A}$ ,  $k_{\rm KO_A}$ ) кода контролирующих ошибки, используемого для передачи каждого элемента векторов y,  $i_{y_{\eta p}}$  по цифровому каналу, где  $k_{\rm KO_A}$  – число информационных символов первичного кода цифрового датчика, от которого зависит точность квантования по уровню измеряемой величины;

- условие физической реализуемости процесса, протекающего в контуре управления, на цифровых устройствах в дискретные моменты времени  $\theta_m$ , m=0,1,2,... с дискретой  $\Delta\theta$ :

$$\Delta\theta \ge \tau_{\rm KS}. \tag{16}$$

- системное быстродействие цифрового контура управления определяется парой ( $\Delta \theta$ ,  $au_{\text{KS}}$ ).

Далее примем  $\Delta \theta = \tau_{\rm KY}$ , что соответствует режиму запаздывания на один такт дискретного времени  $\theta_m$ , m=0,1,2,... с дискретой

$$\Delta\theta = \theta_{m-1} - \theta_m = \tau_{KS}. \tag{17}$$

# 2. Формулировка задачи синтеза алгоритма оптимального ситуационного управления энергетическим балансом в управляемой системе НРПМ

Здесь рассматривается задача разработки (синтеза) модуля АОСУ в рамках структуры замкнутой цифровой системы управления (ЗЦСУ) энергетическим балансом в управляемой системе НРПМ, функциональная схема которой показана на рисунке 1. Формулируется исходная содержательная постановка задачи синтеза модуля АОСУ на основе вышеприведенного описания функциональной схемы ЗЦСУ при предположении, что текущая исходная информация об оценке и прогнозирования  $\hat{x}(\theta_m)$ ,  $\vec{\eta}(\theta_m)$  определена.

Задача 1 — исходная содержательная постановка задачи синтеза. Найти алгоритм цифрового управления  $G_{\text{ADCY}, \theta_m}$  в виде (11), вырабатывающий в каждый текущий момент времени  $\theta_m$ ,  $m=0,1,2,...,\infty$  на основе текущей информации  $\hat{x}(\theta_m)$ ,  $\vec{\eta}(\theta_m)$ , вектор управляющих воздействий  $i_{\text{упр}}(\theta_m)$  (9) путем формирования текущей структуры управляемой системы НРПМ за счет выбора соответствующего состояния каждого ключа из множества  $K_{\text{HPПM}}$ :

$$\begin{split} & K_{\text{HP\PiM}} = \Big\{ K_{\text{AKB1}}^{(-)}(\theta_m), K_{\text{AKB1}}^{(-)}(\theta_m), K_{\text{AKB1}(1)}^{(-)}(\theta_m), K_{\text{AKB1}(1)}^{(-)}(\theta_m), K_{\text{AKB1}(2)}^{(-)}(\theta_m), K_{\text{AKB1}(2)}^{(-)}(\theta_m), K_{\text{AKB1}(2)}^{(-)}(\theta_m), K_{\text{AKB2}(2)}^{(-)}(\theta_m), K_{\text$$

$$K_{\text{BH}}^{(-)}(\theta_m), K_{\text{BU}}^{(-)}(\theta_m), K_{\text{CC}}^{(-)}(\theta_m), K_{\text{CC}}^{(-)}(\theta_m),$$
 (18)

и выбора величин токов вектора  $i_{\text{упр}}(\theta_m)$  (9), соответствующих включенным дугам графа структуры НРПМ (отключенным дугам соответствуют токи с нулевым значением), *с целью* поддержания текущего потребляемого тока  $i_{\Pi}(\theta_m)$ , соответствующего мощности потребления  $W_{\Pi}(\theta_m)$  (2), в окрестности номинального значения  $i_{\Pi}^{\text{вюм}}(\theta_m)$ , соответствующего номинальной мощности  $W_{\Pi}^{\text{вюм}}(\theta_m)$ , за счет поддержания текущего напряжения  $u_{\text{ШСР}}(\theta_m)$  в окрестности номинального  $u_{\text{ШСР}}^{\text{вюм}}(\theta_m)$ , а также поддержания тока  $i_{\text{ГС}}^{(-,-)}(\theta_m)$  в окрестности номинального  $i_{\text{ГС}}^{\text{вом}}(\theta_m)$ , характеризующего заданный график перетока мощности  $W_{\text{ГС}}^{\text{вом}}(\theta_m)$  между ГС и НРПМ, для сохранения динамической устойчивости ЭЭС в целом, т.е. с целью обеспечения следующих соотношений ( $\varepsilon_{\text{СШР}}$ ,  $\varepsilon_{\text{ГС}}$  – допустимые величины отключения):

$$u_{\text{ШСР}}^{\text{HOM}} - \varepsilon_{\text{ШСР}} \le u_{\text{ШСР}}(\theta_m) \le u_{\text{ШСР}}^{\text{HOM}} + \varepsilon_{\text{ШСР}}$$
 (19)

$$i_{\,\Gamma\!C}^{\,\mathrm{HOM}}(\theta_m) - \varepsilon_{\Gamma\!C} \leq i_{\,\Gamma\!C}^{\,(-,-)}(\theta_m) \leq i_{\,\Gamma\!C}^{\,\mathrm{HOM}}(\theta_m) + \varepsilon_{\Gamma\!C}, \tag{20}$$

$$\forall m \in \{0, 1, 2, \dots, \infty\},\$$

с учетом следующих условий:

- модель состояния (напряжения) конденсатора, характеризующая баланс токов узла ШСР;
  - модель процесса функционирования АКБi(j),  $i \in \{1, 2\}, j \in \{1, 2\}, Д\Gamma$ , БН;
- условие физической реализуемости процесса, протекающего в контуре управления, на цифровых устройствах в дискретные моменты времени  $\theta_m$ , m=0,1,2,... с дискретой  $\Delta\theta$ .

Формальное описание этих условий приведено ниже, при разработке схемы решения данной задачи.

### 3. Схема решения задачи синтеза алгоритма оптимального ситуационного управления энергетическим балансом в управляемой системе НРПМ

Схема решения задачи синтеза модуля АОСУ, т.е. задачи 1, включает следующие этапы.

**Этап 1** — построение математической модели баланса токов в управляемой системе  $HP\Pi M$ . Для синтеза модуля AOCУ строится математическая модель, описывающая состояние (напряжение) конденсатора в дискретные моменты времени, и характеризующая баланс токов узла ШСР:

$$\begin{split} u_{\text{LICP}}(\theta_{m-1}) &= u_{\text{LICP}}(\theta_{m}) + \frac{\Delta \theta}{C_{\text{LICP}}} \Big[ \Big( K_{\text{AKB1}}^{(-)}(\theta_{m}) \cdot i_{\text{AKB1}}^{(-)}(\theta_{m}) - K_{\text{AKB1}}^{(-)}(\theta_{m}) \cdot i_{\text{AKB1}}^{(-)}(\theta_{m}) \Big] + \\ &+ \Big( K_{\text{AKB2}}^{(-)}(\theta_{m}) \cdot i_{\text{AKB2}}^{(-)}(\theta_{m}) - K_{\text{AKB2}}^{(-)}(\theta_{m}) \cdot i_{\text{AKB2}}^{(-)}(\theta_{m}) \Big) + \\ &\Big( K_{\text{BH}}^{(-)}(\theta_{m}) \cdot i_{\text{BH}}^{(-)}(\theta_{m}) - K_{\text{BH}}^{(-)}(\theta_{m}) \cdot i_{\text{BH}}^{(-)}(\theta_{m}) \Big) + \\ &+ \Big( K_{\text{CC}}^{(-)}(\theta_{m}) \cdot i_{\text{CC}}^{(-)}(\theta_{m}) - K_{\text{CC}}^{(-)}(\theta_{m}) \cdot i_{\text{CC}}^{(-)}(\theta_{m}) \Big) \Big] + \frac{\Delta \theta}{C_{\text{LICP}}} \Big( i_{\Gamma}(\theta_{m}) - i_{\Pi}(\theta_{m}) \Big). \end{split} \tag{21}$$

Этап 2 — учет информации в математической модели о приоритетности включения элементов НРПМ в процесс управления энергетическим балансом в ней. Здесь, на основе исходного графа структуры управляемой системы НРПМ, показанного на рисунке 1, уравнения (21), характеризующего баланс токов относительно узла ШСР и понятия балансирующего тока, введенного в работе [9], строится структурированный эквивалентный граф с многоуровневой структурой в соответствии с информацией о приоритетности включения элементов НРПМ (4) в процесс управления энергетическим балансом в ней. Граф с таким свойством показан на рисунке 2, где произведена структуризация узла ШСР.

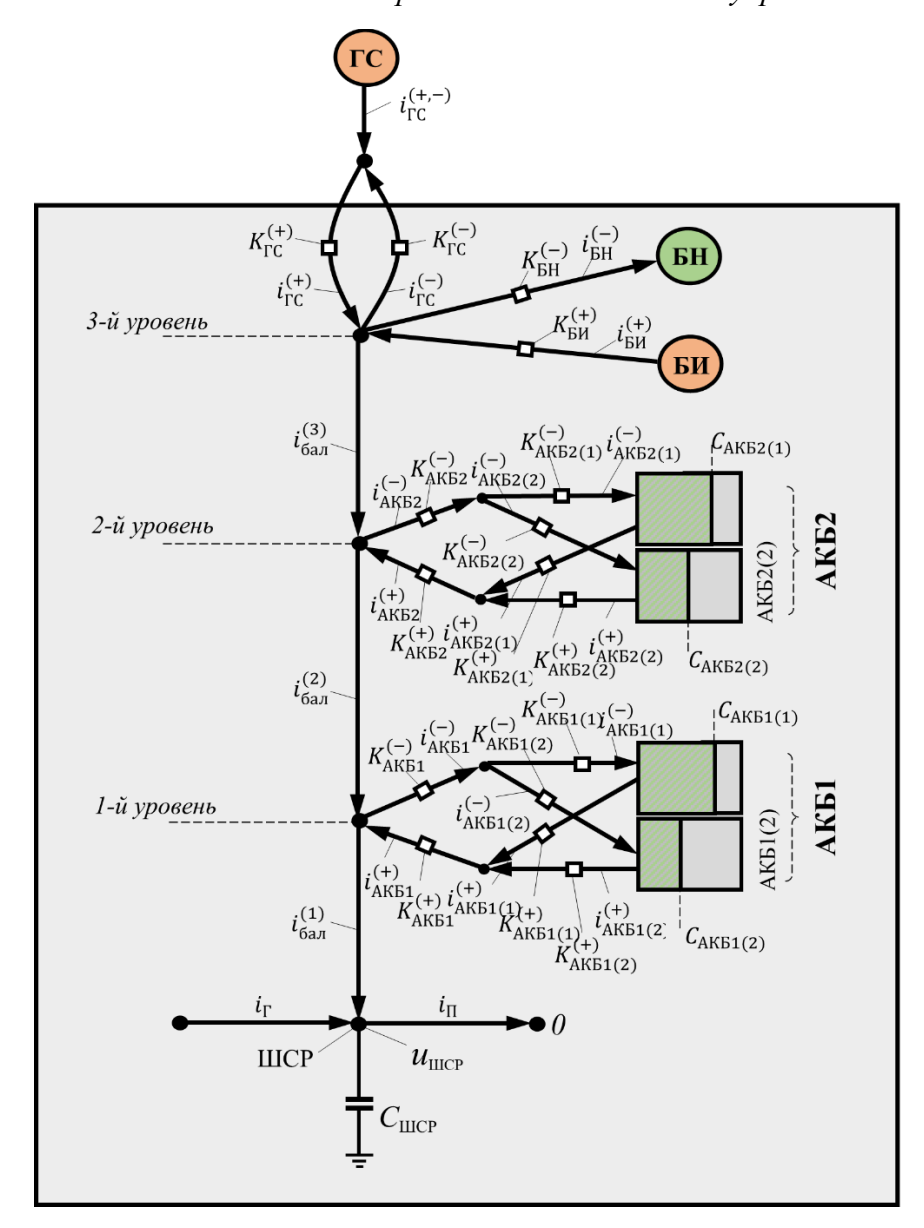


Рисунок 2 — Эквивалентный граф структуры управляемой системы НРПМ, содержащий информацию о приоритетности участия ее элементов в процессе управления энергетическим балансом в ней

В соответствии с многоуровневой структурой эквивалентного графа модель (21) представляется как модель с многоуровневой структурой:

- уравнение состояния (напряжения) узла ШСР – уравнение состояния (напряжения) конденсатора

$$u_{\text{LIICP}}(\theta_{m-1}) = u_{\text{LIICP}}(\theta_m) + \frac{\Delta \theta}{C_{\text{DICP}}} \cdot i_{\text{ban}}^{(1)}(\theta_m) + \frac{\Delta \theta}{C_{\text{DICP}}} \left( i_{\Gamma}(\theta_m) - i_{\Pi}(\theta_m) \right); \tag{22}$$

- уравнение баланса токов узла 1-го уровня

$$i_{\text{bar}}^{(1)}(\theta_{m}) = \left(K_{\text{AKB1}}^{(-)}(\theta_{m}) \cdot i_{\text{AKB1}}^{(-)}(\theta_{m}) - K_{\text{AKB1}}^{(-)}(\theta_{m}) \cdot i_{\text{AKB1}}^{(-)}(\theta_{m})\right) + i_{\text{bar}}^{(2)}(\theta_{m}); \tag{23}$$

- уравнение баланса токов узла 2-го уровня

$$i_{\text{dag}}^{(2)}(\theta_m) = \left(K_{\text{AKE}2}^{(-)}(\theta_m) \cdot i_{\text{AKE}2}^{(-)}(\theta_m) - K_{\text{AKE}2}^{(-)}(\theta_m) \cdot i_{\text{AKE}2}^{(-)}(\theta_m)\right) + i_{\text{dag}}^{(3)}(\theta_m); \tag{24}$$

- уравнение баланса токов узла 3-го уровня

$$i_{\text{ben}}^{(3)}(\boldsymbol{\theta}_m) = \left(K_{\text{BH}}^{(-)}(\boldsymbol{\theta}_m) \cdot i_{\text{BH}}^{(-)}(\boldsymbol{\theta}_m) - K_{\text{BH}}^{(-)}(\boldsymbol{\theta}_m) \cdot i_{\text{BH}}^{(-)}(\boldsymbol{\theta}_m)\right) + i_{\text{PC}}^{(-,-)}(\boldsymbol{\theta}_m); \tag{25}$$

- требование к перетоку (3) между ГС и управляемой системой НРПМ:

$$i_{\Gamma C}^{\text{HOM}}(\theta_m) = i_{\Gamma C}^{(-,-)}(\theta_m), \tag{26}$$

где  $i_{\text{бал}}^{(j)}(\theta_m)$ ,  $j \in \{1, 2, 3\}$  — балансирующий ток j-го уровня иерархии.

Последовательная подстановка выражений  $(26) \rightarrow (25) \rightarrow (24) \rightarrow (23) \rightarrow (22)$  дает исходную модель (21), что свидетельствует об эквивалентности исходного графа (см. рис. 1) и структурированного многоуровневого графа (см. рис. 2) с позиции энергетического баланса, однако они не эквивалентны с позиции содержания в них информации о приоритетности включения элементов системы НРПМ (4) в процесс управления энергетическим балансом в ней.

Балансирующий ток 1-го уровня  $i_{\text{бал}}^{(1)}(\theta_m)$  в уравнении (22) выступает как результирующее управляющее воздействие для поддержания напряжения  $u_{\text{ШСР}}(\theta_m)$  узла ШСР в окрестности номинального  $u_{\text{ШСР}}^{\text{ном}}$ , а выражения (23) - (26) являются уравнениями реализации балансирующего тока  $i_{\text{бал}}^{(1)}(\theta_m)$  путем формирования текущей структуры управляемой системы НРПМ за счет выбора соответствующих состояний условных ключей из (18) и выбора величин токов вектора управляющих воздействий  $i_{\text{упр}}(\theta_m)$  (9), соответствующих включенным дугам (отключенным дугам соответствуют токи с нулевым значением).

Этап 3 — учет запаздывания в контуре цифрового управления. Уравнение напряжения конденсатора (узла ШСР) (22) записывается с учетом задержки на один такт (17) балансирующего тока  $i_{\tilde{\mathfrak{os}},n}^{(1)}(\theta_m)$ , за счет запаздывания вектора управляющих воздействий  $i_{\text{упр}}(\theta_m)$  (9) в контуре управления КУ:

$$\begin{cases} u_{\text{LHCP}}(\theta_{m-1}) = u_{\text{LHCP}}(\theta_m) + \frac{\Delta \theta}{C_{\text{LHCP}}} \cdot i_{\text{B3}}(\theta_m) + \frac{\Delta \theta}{C_{\text{LHCP}}} \left( i_{\Gamma}(\theta_m) - i_{\Pi}(\theta_m) \right), \\ i_{\text{B3}}(\theta_{m-1}) = i_{\text{SAM}}^{(1)}(\theta_m), \end{cases}$$
(27)

где  $i_{\mathsf{B3}}(\theta_m)$  — запоздавший на один такт дискретного времени балансирующий ток  $i_{\mathsf{6AA}}(\theta_{m-1}).$ 

**Этап 4** — формирование уравнения состояния и требований к режимам зарядки/разрядки системы аккумуляторных батарей (см. рис. 2):

- уравнение состояния аккумуляторных батарей AKEi(j),  $i \in \{1,2\}$ ,  $j \in \{1,2\}$ 

$$C_{\text{AKB}i(j)}(\theta_{m-1}) = C_{\text{AKB}i(j)}(\theta_m) + \Delta\theta \cdot i_{\text{AKB}i(j)}^{(-)}(\theta_m) - \Delta\theta \cdot i_{\text{AKB}i(j)}^{(-)}(\theta_m), \tag{28}$$

где:

$$i_{\mathsf{AKE}i(j)}^{(-)}(\theta_m) = K_{\mathsf{AKE}i}^{(-)}(\theta_m) \cdot K_{\mathsf{AKE}i(j)}^{(-)} \cdot i_{\mathsf{AKE}i}^{(-)}(\theta_m), \tag{29}$$

$$i_{\text{AKB}i(j)}^{(-)}(\theta_m) = K_{\text{AKB}i}^{(-)}(\theta_m) \cdot K_{\text{AKB}i(j)}^{(-)} \cdot i_{\text{AKB}i}^{(-)}(\theta_m); \tag{30}$$

требования к режимам зарядки/разрядки аккумуляторных батарей АКБi(j),  $i \in \{1,2\}$ ,  $j \in \{1,2\}$  [2]:

$$C_{\text{AKB}i(j)}^{min} \leq C_{\text{AKB}i(j)}(\theta_m) \leq C_{\text{AKB}i(j)}^{max}, \quad C_{\text{AKB}i(j)}^{min} = 0.3 \cdot C_{\text{AKB}i(j)}^{max}; \tag{31}$$

$$i_{\text{AKE}i(j)}^{(-)}(\theta_m) \le 0.1 \cdot C_{\text{AKE}i(j)}^{\text{max}}; \tag{32}$$

$$i_{\text{AKE}i(j)}^{(-)}(\theta_m) \le 0.15 \cdot C_{\text{AKE}i(j)}^{max}. \tag{33}$$

**Этап 5** — выявление u анализ ситуаций u построение графа переходов в двухконтурном накопителе (см. рис. 3). Здесь формируется набор ситуаций, возникающих в зависимости от состояний параллельных контуров (АКБi(1), АКБi(2)) двухконтурного накопителя АКБi,  $i \in \{1,2\}$ , работающих поочередно в режиме зарядка/разрядка, даются их формальные определения, строится граф переходов из одной ситуации в другую и формулируются правила переключения параллельных контуров из одного режима работы в другой.

Ниже используется следующая конструкция системы обозначений:

$$\begin{cases}
S_{\text{AKE}i}^{(\theta_{\pi})}\left(\frac{a}{R_{(a)}}/\frac{b}{R_{(b)}}\right), \\
a, b \in \{1, 2\}, (a, b) \in \{(1, 2), (2, 1)\}, \\
R_{(a)}, R_{(b)} \in \{\uparrow, \downarrow, \uparrow, \downarrow\}, \\
(R_{(a)}/R_{(b)}) \in \{(\uparrow/\downarrow), (\downarrow/\uparrow), (\uparrow/\downarrow), (\uparrow/\downarrow), (\uparrow/\downarrow), (\downarrow/\uparrow), (\downarrow/\uparrow)\},
\end{cases} (34)$$

где  $S(\cdot)$  — некоторая ситуация, возникающая в двухконтурном накопителе; a, b — номера контуров;  $R_{(a)}, R_{(b)}$  — режимы функционирования контуров с номерами, соответственно, a, b;  $\uparrow, \downarrow, \uparrow, \downarrow$  — соответственно нормальный режим зарядки, нормальный режим разрядки, полная (предельная) зарядка, полная (предельная) разрядка соответствующего контура с номером a или b, т.е. контура AKBi(a) или AKBi(b); \*/\* — некоторое обозначение (или предложение) \* в числителе косой черты соответствует контуру с номером a, т.е. контуру AKBi(a), а некоторое обозначение (или предложение) \* в знаменателе косой черты — контуру с номером b, т.е. контуру AKBi(b); ( $\uparrow/\downarrow$ ), ( $\downarrow/\uparrow$ ) — режимы соответственно полная зарядка/полная разрядка, (полная разрядка/разрядка), (зарядка/полная разрядка), (полная разрядка/зарядка), (разрядка/полная зарядка/полная зарядка/полная зарядка/полная зарядка), (зарядка/полная разрядка), (полная разрядка/зарядка), (разрядка/полная зарядка/полная зарядка).

Ниже, используя принятую конструкцию системы обозначения ситуаций (34), даются формальные определения всем возможным ситуациям, возникающим в процессе функционирования параллельных контуров (AKEi(a), AKEi(b)) двухконтурного накопителя AKEi,  $i \in \{1,2\}$ .

Определение 1 — определение ситуаций, соответствующих нормальным режимам зарядки и разрядки параллельных контуров (АКБi(a), АКБi(b)):

- ситуация  $S_{\text{AKE}i}^{(\theta_m)}\left(\frac{a}{\uparrow}/\frac{b}{\downarrow}\right)$  называется нормальной при режиме  $(\uparrow/\downarrow)$ , если вектор состояния  $(C_{\text{AKE}i(a)}(\theta_m), C_{\text{AKE}i(b)}(\theta_m))$  удовлетворяет следующему условию:

$$\left(C_{\text{AKB}i(a)}(\theta_m) < C_{\text{AKB}i(a)}^{max} / C_{\text{AKB}i(b)}(\theta_m) > C_{\text{AKB}i(b)}^{min}\right); (35)$$

- ситуация  $S_{AKGi}^{(\theta_{\eta_1})}\left(\frac{a}{1}/\frac{b}{1}\right)$  называется нормальной при режиме ( $\downarrow/\uparrow$ ), если

$$\left(C_{\text{AKE}i(a)}(\theta_m) > C_{\text{AKE}i(a)}^{min} \middle/ C_{\text{AKE}i(b)}(\theta_m) < C_{\text{AKE}i(b)}^{max}\right). (36)$$

Определение 2 — определение ситуаций, соответствующих симметрично-предельным режимам зарядки и разрядки параллельных контуров (AKBi(a), AKBi(b)):

- ситуация  $S_{\text{AKE}i}^{(\theta_m)}\left(\frac{\alpha}{7}/\frac{b}{1}\right)$  называется симметрично-предельной при режиме (↑/↓), если

$$\left(C_{\text{AKB}i(a)}(\theta_m) = C_{\text{AKB}i(a)}^{max} / C_{\text{AKB}i(b)}(\theta_m) = C_{\text{AKB}i(b)}^{min}\right); (37)$$

- ситуация 
$$S_{\text{AKE}i}^{(\theta_m)}\left(\frac{a}{\underline{l}}/\frac{b}{\overline{l}}\right)$$
 называется симметрично-предельной при режиме ( $\downarrow/\uparrow$ ), если 
$$\left(C_{\text{AKE}i(a)}(\theta_m) = C_{\text{AKE}i(a)}^{min}/C_{\text{AKE}i(b)}(\theta_m) = C_{\text{AKE}i(b)}^{max}\right). \tag{38}$$

$$\left(C_{\text{AKE}i(a)}(\theta_m) = C_{\text{AKE}i(a)}^{min} / C_{\text{AKE}i(b)}(\theta_m) = C_{\text{AKE}i(b)}^{max}\right). \tag{38}$$

Определение 3 – определение ситуаций, соответствующих асимметрично-предельным режимам зарядки и разрядки параллельных контуров (AKEi(a), AKEi(b)):

- ситуация  $S_{\text{AKE}i}^{(\theta_m)}\left(\frac{\alpha}{7}/\frac{b}{1}\right)$  называется асимметрично-предельно/нормальной при режиме  $(\uparrow/\downarrow)$ , если

$$\left(C_{\text{AKE}i(a)}(\theta_m) = C_{\text{AKE}i(a)}^{max} / C_{\text{AKE}i(b)}(\theta_m) > C_{\text{AKE}i(b)}^{min}\right); (39)$$

ситуация  $S_{AKBi}^{(\theta_m)}\left(\frac{a}{\uparrow}/\frac{b}{\downarrow}\right)$  называется асимметрично-нормально/предельной при режиме (↑/↓), если

$$\left(C_{\text{AKE}i(a)}(\theta_m) < C_{\text{AKE}i(a)}^{max} / C_{\text{AKE}i(b)}(\theta_m) = C_{\text{AKE}i(b)}^{min}\right); (40)$$

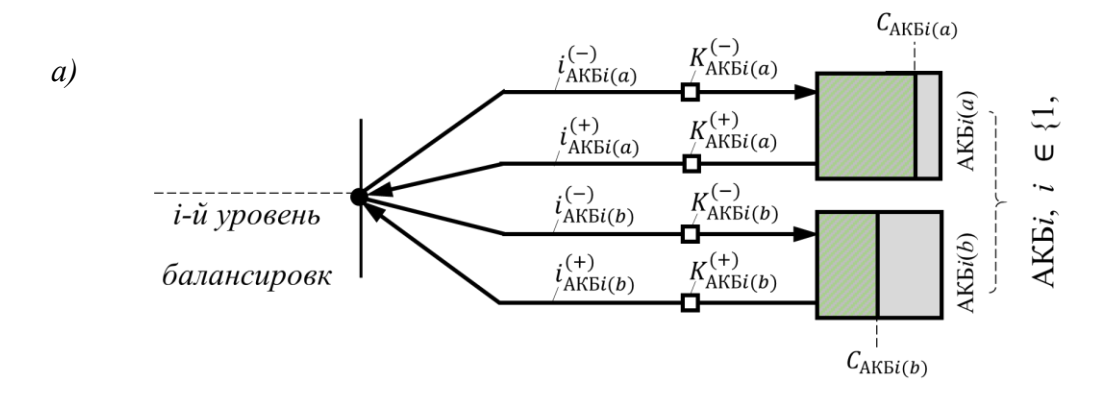
ситуация  $S_{AKBi}^{(\theta_m)}\left(\frac{a}{\downarrow}/\frac{b}{\uparrow}\right)$  называется асимметрично-предельно/нормальной при режиме (↓/↑), если

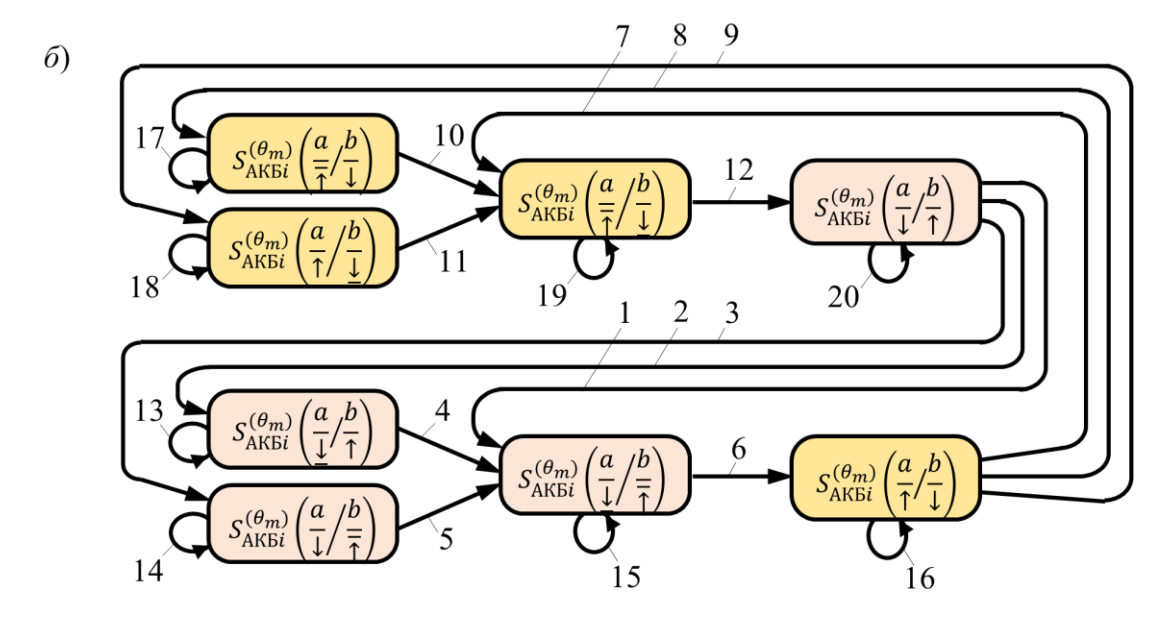
$$\left(C_{\text{AKE}i(a)}(\theta_m) = C_{\text{AKE}i(a)}^{min} / C_{\text{AKE}i(b)}(\theta_m) < C_{\text{AKE}i(b)}^{max}\right); (41)$$

ситуация  $S_{\text{AKE}i}^{(\theta_m)}\left(\frac{a}{1}/\frac{b}{1}\right)$  называется асимметрично-нормально/предельной при режиме  $(\downarrow/\uparrow)$ , если

$$\left(C_{\text{AKB}i(a)}(\theta_m) > C_{\text{AKB}i(a)}^{min} / C_{\text{AKB}i(b)}(\theta_m) = C_{\text{AKB}i(b)}^{max}\right). \tag{42}$$

Переход одной ситуации из набора ситуаций, удовлетворяющих условиям (35)-(42), в другую ситуацию того же набора отражает граф переходов, конкретная структура которого зависит от принятой структуры системы управления процессом функционирования параллельных контуров ( $AK\overline{b}i(a)$ ,  $AK\overline{b}i(b)$ ), т.е. от количества устройств управления токами зарядки и управления токами разрядки, и от схемы соединения их с параллельными контурами (AKEi(a), AKEi(b)). Возможны два варианта такой структуры. Граф структуры одного из вариантов показан на рисунках 1, 2 в составе графа структуры управляемой системы НРПМ (подробное описание этой структуры приведено ниже, в рамках второго варианта).





$$S_{\text{AKE}i}^{(\theta_m)} \left(\frac{a}{\downarrow} \middle/ \frac{b}{\uparrow}\right) \begin{cases} \frac{a}{\downarrow} \left\{ K_{\text{AKE}i(a)}^{(-)} = 0 \\ K_{\text{AKE}i(a)}^{(+)} = 1 \\ \frac{b}{\uparrow} \left\{ K_{\text{AKE}i(b)}^{(-)} = 1 \\ K_{\text{AKE}i(b)}^{(+)} = 0 \right\} \end{cases} \xrightarrow{\text{Ayra 15}} \begin{cases} K_{\text{AKE}i(a)}^{(-)} = 1 \\ K_{\text{AKE}i(a)}^{(+)} = 0 \\ K_{\text{AKE}i(b)}^{(-)} = 0 \\ K_{\text{AKE}i(b)}^{(-)} = 1 \end{cases} \xrightarrow{S_{\text{AKE}i}^{(\theta_m)} \left(\frac{a}{\uparrow} \middle/ \frac{b}{\downarrow}\right)} S_{\text{AKE}i}^{(\theta_m)} \left(\frac{a}{\uparrow} \middle/ \frac{b}{\downarrow}\right)$$

$$S_{\text{AKB}i}^{(\theta_m)} \left(\frac{a}{\uparrow} \middle/ \frac{b}{\downarrow}\right) \begin{cases} \frac{a}{\uparrow} \left(K_{\text{AKB}i(a)}^{(-)} = 1 \\ K_{\text{AKB}i(a)}^{(+)} = 0 \\ \frac{b}{\downarrow} \left(K_{\text{AKB}i(b)}^{(-)} = 1 \right) \end{cases} \xrightarrow{\text{Ayra 19}} \begin{cases} K_{\text{AKB}i(a)}^{(-)} = 0 \\ K_{\text{AKB}i(a)}^{(+)} = 1 \end{cases} \xrightarrow{\text{Ayra 19}} \begin{cases} K_{\text{AKB}i(a)}^{(-)} = 0 \\ K_{\text{AKB}i(b)}^{(+)} = 1 \end{cases} \xrightarrow{S_{\text{AKB}i}^{(\theta_m)}} \left(\frac{a}{\downarrow} \middle/ \frac{b}{\uparrow}\right)$$

Рисунок 3 – Граф переходов, соответствующий варианту 1

Вариант 1. Граф структуры системы управления параллельными контурами (АКБi(a), АКБi(b)), поочередно работающими в режиме зарядки/разрядки, показан на рисунке 3, a, где нумерация контуров принята как  $a=1,\ b=2$ ; ветвям с токами зарядки  $i_{AKB}^{(-)}(\theta_m)$ ,  $i_{AKB}^{(-)}(\theta_m)$  соответствуют устройства зарядки соответственно  $y3_{AKB}^{(-)}(a)$ ,  $y3_{AKB}^{(-)}(b)$ , а ветвям с

токами разрядки  $i_{AKBi(a)}^{(-)}(\theta_m)$ ,  $i_{AKBi(b)}^{(-)}(\theta_m)$  соответствуют устройства разрядки соответственно  $\mathbf{YP}_{AKBi(a)}^{(-)}$ ,  $\mathbf{YP}_{AKBi(b)}^{(-)}$  (в данном варианте требуется четыре устройства для организации поочередной работы параллельных контуров в режиме зарядки/разрядки).

организации поочередной работы параллельных контуров в режиме зарядки/разрядки). Состояние вектора условных управляемых ключей  $(K_{AKBi(a)}^{(-)}(\theta_m), K_{AKBi(a)}^{(-)}(\theta_m), K_{KBi(a)}^{(-)}(\theta_m), K_{KBi(a)}^{(-)}(\theta_m))$  несет информацию о текущем режиме работы параллельных контуров (AKBi(a), AKBi(b)). Эти ключи предназначены для переключения этих контуров из одного режима в другой путем изменения соответствующим образом их состояния.

На рисунке 3,  $\delta$  показан граф переходов из одной ситуации в другую, где:

- вершинам соответствуют ситуации из вышеопределенного набора (см. определения 1-3), а дуги 1-12 отражают переходы из одной ситуации в другую;
- если текущему состоянию параллельных контуров (АКБi(a), АКБi(b)) соответствует режим  $\left( \overline{\uparrow} / \underline{\downarrow} \right)$ , то ситуация  $S_{AKB}^{(\theta_m)} \left( \frac{a}{\underline{\downarrow}} / \frac{b}{\underline{\uparrow}} \right)$  является началом полного цикла, ситуация  $S_{AKB}^{(\theta_m)} \left( \frac{a}{\underline{\downarrow}} / \frac{b}{\underline{\uparrow}} \right)$  концом первого полуцикла, ситуация  $S_{AKB}^{(\theta_m)} \left( \frac{a}{\underline{\uparrow}} / \frac{b}{\underline{\downarrow}} \right)$  началом второго полуцикла, а ситуация  $S_{AKB}^{(\theta_m)} \left( \frac{a}{\underline{\uparrow}} / \frac{b}{\underline{\downarrow}} \right)$  концом полного цикла поочередной работы этих контуров в режиме зарядка/разрядка;
- дуге 20 соответствует процесс разрядки/зарядки соответственно дефицитного/избыточного тока в узле *i*-го уровня балансировки, в результате чего в зависимости от закона изменения вектора возмущения  $\eta(\theta_m)$  (6) ситуация  $S_{AKBi}^{(\theta_m)}\left(\frac{a}{1}/\frac{b}{1}\right)$  может перейти непредсказуемым образом в одну из следующих ситуаций:  $S_{AKBi}^{(\theta_m)}\left(\frac{a}{1}/\frac{b}{1}\right)$ ,  $S_{AKBi}^{(\theta_m)}\left(\frac{a}{1}/\frac{b}{1}\right)$ ;
- дугам 13, 14 соответствуют процессы соответственно дозарядки контура b, дозарядки контура a с целью перевода ситуации  $S_{\mathsf{AKE}i}^{(\theta_{\mathfrak{m}})}\left(\frac{a}{\underline{1}}/\frac{b}{\uparrow}\right)$ ,  $S_{\mathsf{AKE}i}^{(\theta_{\mathfrak{m}})}\left(\frac{a}{\underline{1}}/\frac{b}{\uparrow}\right)$  в ситуацию  $S_{\mathsf{AKE}i}^{(\theta_{\mathfrak{m}})}\left(\frac{a}{\underline{1}}/\frac{b}{\uparrow}\right)$ ;
- дуге 15 соответствует процесс переключения из режима  $\left(\frac{\bot}{\uparrow}\right)$  в режим  $\left(\uparrow/\downarrow\right)$  с целью перевода ситуации  $S_{AKBi}^{(\theta_{m})}\left(\frac{\alpha}{\underline{\downarrow}}/\frac{b}{\overline{\uparrow}}\right)$  в ситуацию  $S_{AKBi}^{(\theta_{m})}\left(\frac{\alpha}{\uparrow}/\frac{b}{\downarrow}\right)$  (правило переключения показано на рисунке 3,  $\epsilon$ );
- дуге 16 соответствует процесс зарядки/разрядки соответствен но избыточного/дефицитного тока в узле *i*-го уровня балансировки, в результате чего в зависимости от закона изменения вектора возмущения  $\eta(\theta_m)$  (6) ситуация  $S_{AKBi}^{(\theta_m)}\left(\frac{a}{\uparrow}/\frac{b}{\downarrow}\right)$  может перейти непредсказуемым образом в одну из следующих ситуаций:  $S_{AKBi}^{(\theta_m)}\left(\frac{a}{\uparrow}/\frac{b}{\downarrow}\right)$ ,  $S_{AKBi}^{(\theta_m)}\left(\frac{a}{\uparrow}/\frac{b}{\downarrow}\right)$ ;
- дугам 17, 18 соответствуют процессы соответственно доразрядки контура b, дозарядки контура a с целью перевода ситуации  $S_{\text{AKB}i}^{(\theta_{\mathfrak{M}})}\left(\frac{a}{\overline{\uparrow}}/\frac{b}{1}\right)$ ,  $S_{\text{AKB}i}^{(\theta_{\mathfrak{M}})}\left(\frac{a}{\overline{\uparrow}}/\frac{b}{1}\right)$  в ситуацию  $S_{\text{AKB}i}^{(\theta_{\mathfrak{M}})}\left(\frac{a}{\overline{\uparrow}}/\frac{b}{1}\right)$ ;
- дуге 19 соответствует процесс переключения из режима  $(\uparrow/\downarrow)$  в режим  $(\downarrow/\uparrow)$  с целью перевода ситуации  $S_{AKBi}^{(\theta_{m})}\left(\frac{\alpha}{\uparrow}/\frac{b}{\downarrow}\right)$  в ситуацию  $S_{AKBi}^{(\theta_{m})}\left(\frac{\alpha}{\downarrow}/\frac{b}{\uparrow}\right)$  (правило переключения показано на рисунке 3. z):
- правила переключения режимов функционирования параллельных контуров (AKBi(a), AKBi(b)), показанных на рисунке 3,  $\epsilon$ ,  $\epsilon$  (вариант 1), интерпретируются следующим образом: если параллельные контуры в процессе их функционирования оказались в симметрично-

предельной ситуации  $S_{AKBi}^{(\theta_m)}\left(\frac{a}{\underline{1}}/\frac{b}{\underline{1}}\right)$  при режиме  $(\downarrow/\uparrow)$  или  $S_{AKBi}^{(\theta_m)}\left(\frac{a}{\underline{1}}/\frac{b}{\underline{1}}\right)$  при режиме  $(\uparrow/\downarrow)$ , то путем задания состояния вектора ключей  $(K_{AKBi(a)}^{(-)}(\theta_m), K_{AKBi(a)}^{(-)}(\theta_m), K_{AKBi(b)}^{(-)}(\theta_m), K_{AKBi(b)}^{(-)}(\theta_m), K_{AKBi(b)}^{(-)}(\theta_m), K_{AKBi(b)}^{(-)}(\theta_m)$ ) следует перевести их в нормальную ситуацию, соответственно,  $S_{AKBi}^{(\theta_m)}\left(\frac{a}{\underline{1}}/\frac{b}{\underline{1}}\right)$  или  $S_{AKBi}^{(\theta_m)}\left(\frac{a}{\underline{1}}/\frac{b}{\underline{1}}\right)$ , по следующему правилу:

$$(K_{\text{AKB}i(a)}^{(-)}(\theta_{m}),K_{\text{AKB}i(a)}^{(-)}(\theta_{m}),K_{\text{AKB}i(b)}^{(-)}(\theta_{m}),K_{\text{AKB}i(b)}^{(-)}(\theta_{m})) = \\ \begin{cases} (1,0,0,1), \text{если параллельные контуры оказались в ситуации } S_{\text{AKB}i}^{(\theta_{m})}\left(\frac{a}{\downarrow}/\frac{b}{\uparrow}\right), \\ \text{т. е. выполнено условие } (38), \text{и необходимо перевести} \end{cases} \\ = \begin{cases} (0,1,1,0), \text{если параллельные контуры оказались в ситуации } S_{\text{AKB}i}^{(\theta_{m})}\left(\frac{a}{\uparrow}/\frac{b}{\downarrow}\right), \\ \text{т. е. выполнено условие } (37), \text{и необходимо перевести} \end{cases}$$

при этом a = 1, b = 2.

Вариант 2. Граф структуры системы управления параллельными контурами (АКБi(1), АКБi(2)), поочередно работающими в режиме зарядки/разрядки, показан на рисунке 4, a, где ветвям с токами  $i_{AKBi}^{(-)}(\theta_m)$ ,  $i_{AKBi}^{(-)}(\theta_m)$  соответствуют устройства, соответственно, зарядки  $Y3_{AKBi}^{(-)}$ , разрядки  $YP_{AKBi}^{(-)}$ , реализующие эти токи;  $Y3_{AKBi}^{(-)}$  выполняет функции двух устройств  $Y3_{AKBi(a)}^{(-)}$ ,  $Y3_{AKBi(b)}^{(-)}$  из варианта 1, производя поочередно зарядку параллельных контуров, а  $YP_{AKBi}^{(-)}$  выполняет функции устройств  $YP_{AKBi(a)}^{(-)}$ ,  $YP_{AKBi(b)}^{(-)}$  из варианта 1, производя поочередно разрядку параллельных контуров накопителя AKBi i-го уровня путем формирования текущей структуры за счет выбора соответствующего состояния вектора условных управляемых ключей  $(K_{AKBi(1)}^{(-)}(\theta_m), K_{AKBi(1)}^{(-)}(\theta_m), K_{AKBi(2)}^{(-)}(\theta_m), K_{AKBi(2)}^{(-)}(\theta_m)$ . Такая структура использована в рамках структуры управляемой системы НРПМ (см. рис. 1 и 2)

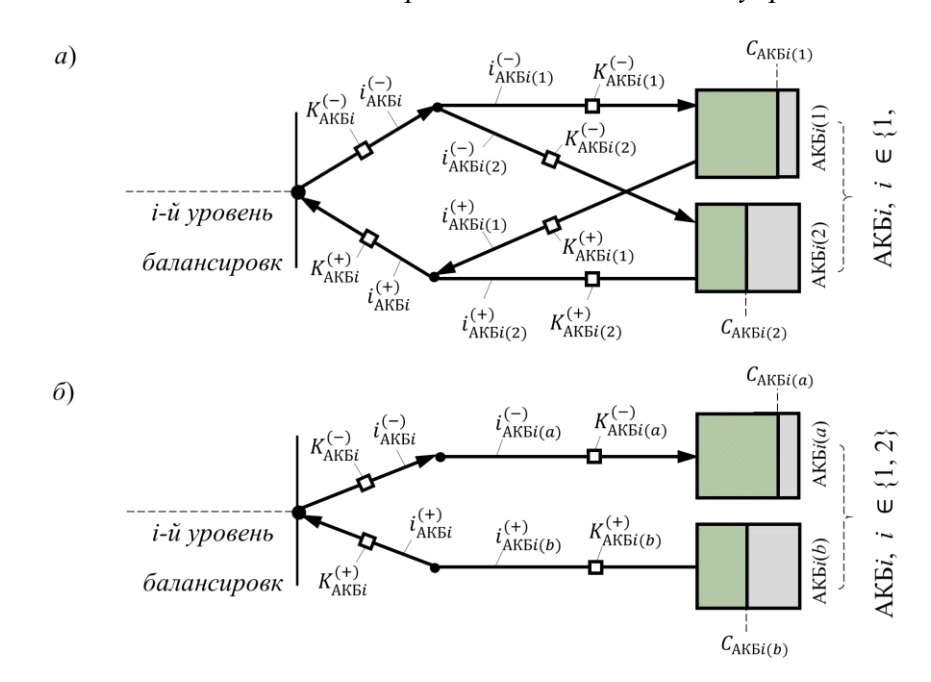


Рисунок 4 – Граф переходов, соответствующий варианту 2 (а, б)

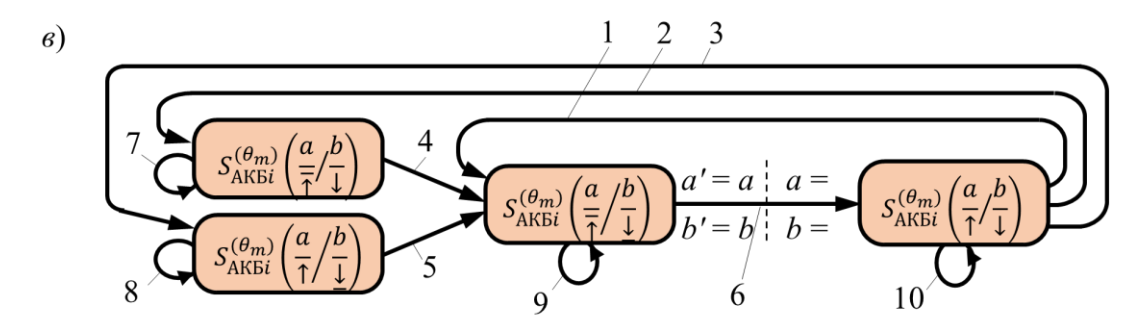


Рисунок 4 – Граф переходов, соответствующий варианту 2 (в, г)

Для идентификации текущих режимов функционирования параллельных контуров введем новое понятие, как указатель, формальное определение которого дано ниже.

Определение 4 — пара  $(a,b) \in \{(1,2),(2,1)\}$  называется вектором указателей, идентифицирующий текущий режим функционирования параллельных контуров (АКБi(1), АКБi(2)) накопителя АКБi, если состояние элемента a данного вектора указывает на номер контура, работающего в текущий момент времени в режиме зарядки, а состояние элемента b указывает на номер контура, работающего в режиме разрядки.

Введенный вектор указателей (a, b) позволяет упростить структуру исходного графа (рис. 4, a) и представить в виде структуры, показанной на рис. 4,  $\delta$ . На рисунке 4, в показан граф переходов из одной ситуации в другую, соответствующий вновь полученной структуре (рис. 4,  $\delta$ ). Вершины и дуги данного графа интерпретируются, как и в первом варианте (см. рис. 3,  $\delta$ ), и отражает этот граф полуцикл процесса зарядки/разрядки параллельных контуров

 $(AKE_{i}(1), AKE_{i}(2))$ , т.е. полную зарядку контура, на номер которого указывает текущее состояние указателя a, и полную разрядку контура, на номер которого указывает текущее состояние указателя b. Смена режимов зарядки/разрядки параллельных контуров производится при этом за счет переключения состояния вектора указателей  $(a,b) \in$  $\{(1,2),(2,1)\}$  (cm. puc. 4,  $\epsilon$ ).

Правила переключения режимов функционирования параллельных контуров (АКБі(а), AKEi(b)), показанных на рисунке 4,  $\varepsilon$  (вариант 2), интерпретируются следующим образом: если параллельные контуры, при их функционировании в текущем полупериоде процесса зарядки/разрядки, оказались в симметрично-предельной ситуации  $S_{AKBi}^{(\theta_m)}\left(\frac{a}{7}/\frac{b}{\downarrow}\right)$ , то переключения в очередной полупериод режима зарядки/разрядки следует перевести их в нормальную ситуацию  $S_{\text{AKE}i}^{(\theta_{m})}\left(\frac{a}{\uparrow}/\frac{b}{\downarrow}\right)$  по следующему правилу:

- переключение состояния вектора указателей 
$$(a,b)$$
:

$$(2,1), если при текущем значении вектора указателей  $(a,b) = (1,2)$ 
параллельные контуры оказались в ситуации  $S_{AKBi}^{(\theta_m)}\left(\frac{a}{\uparrow}/\frac{b}{\downarrow}\right)$ ,

т. е. выполнено условие  $(37)$ , и необходимо перевести в ситуацию  $S_{AKBi}^{(\theta_m)}\left(\frac{a}{\uparrow}/\frac{b}{\downarrow}\right)$  при  $(a,b) = (2,1)$ ;

$$(1,2), если при текущем значении вектора указателей  $(a,b) = (2,1)$ 
параллельные контуры оказались в ситуации  $S_{AKBi}^{(\theta_m)}\left(\frac{a}{\uparrow}/\frac{b}{\downarrow}\right)$ ,

т. е. выполнено условие  $(37)$ , и необходимо перевести в ситуацию  $S_{AKBi}^{(\theta_m)}\left(\frac{a}{\uparrow}/\frac{b}{\downarrow}\right)$  при  $(a,b) = (2,1)$ ;$$$$

- переключение состояния вектора ключей:

$$(K_{\text{AKB}i(1)}^{(-)}(\theta_m), K_{\text{AKB}i(1)}^{(-)}(\theta_m), K_{\text{AKB}i(2)}^{(-)}(\theta_m), K_{\text{AKB}i(2)}^{(-)}(\theta_m)) =$$

$$= \begin{cases} (1, 0, 0, 1), \text{если } (a, b) = (1, 2); \\ (0, 1, 1, 0), \text{если } (a, b) = (2, 1). \end{cases}$$

$$(45)$$

**Этап** 6 – декомпозиция исходной задачи синтеза алгоритма оптимального ситуационного управления энергетическим балансом в управляемой системе НРПМ. Исходную задачу синтеза (задача 1 в разделе 2) с учетом приоритетности включения элементов системы НРПМ к процессу управления энергетическим балансом в ней (4), и сведений, приведенных в рамках данного раздела, можно разбить на ряд последовательно

Примечание 1. Ниже рассматривается частный случай исходной задачи синтеза (задача 1), т.е. рассматривается одношаговая задача оптимизации, которой соответствует алгоритм управления со структурой (13).

Задача 1.1 – задача поддержания текущей величины напряжения конденсатора  $u_{\text{ШСР}}(\theta_m)$  в окрестности номинального напряжения  $u_{\text{ШСР}}^{\text{ном}}$ . Данная задача формулируется следующим образом: требуется найти такой алгоритм  $G_{\text{ШСР},\theta_m}$ , вырабатывающий в каждый текущий момент времени  $\theta_m$ , на основе текущей информации  $u_{\text{ШСР}}(\theta_m), i_{\Gamma}(\theta_m), i_{\Pi}(\theta_m)$  (см. (5), (6)), управляющее воздействие в виде балансирующего тока 1-го уровня  $i_{\delta a \pi}^{(1)}(\theta_m)$  (см. рис. 2):

$$i_{\text{ban}}^{(1)}(\theta_m) = G_{\text{LICP},\theta_m}[u_{\text{LICP}}(\theta_m), i_{\Gamma}(\theta_m), i_{\Pi}(\theta_m), u_{\text{LICP}}^{\text{ROM}}], \tag{46}$$

минимизирующий отклонение  $u_{\text{ШСР}}(\theta_m)$  от  $u_{\text{ШСР}}^{\text{ном}}$  с учетом (27), т.е. в каждый текущий момент времени  $\theta_m$  решается следующая задача оптимизации:

min 
$$\lim_{\substack{i_{\text{dam}}^{(1)}(\theta_{m}) = \\ = \mathsf{G}_{\text{LUCP}}(\theta_{m}), \ i_{\Gamma}(\theta_{m}), i_{\Pi}(\theta_{m}), u_{\text{LUCP}}^{\text{EXXY}}}} \left\{ \int_{\text{LUCP}, \theta_{m}}^{(1)} = \left( u_{\text{LUCP}}(\theta_{m-1}) - u_{\text{LUCP}}^{\text{HOM}} \right)^{2} | c \mathbf{y} \text{TeTOM} (27) \right\}. \tag{47}$$

Примечание 2. Подзадача (47) является классической задачей теории оптимального управления, для решения которой можно использовать метод динамического программирования, основанный на принципе оптимальности Р. Беллмана [11,12].

Задача 1.2 — задача поддержания текущей величины балансирующего тока 2-го уровня  $i_{\delta a n}^{(2)}(\theta_m)$  в окрестности номинального  $i_{\Gamma C}^{\text{ном}}(\theta_m)$ . Данная задача формулируется следующим образом: требуется найти такой алгоритм  $G_{\text{AKE1},\theta_m}$ , вырабатывающий в каждый текущий момент времени  $\theta_m$ , на основе текущей информации  $C_{\text{AKE1}(1)}(\theta_m)$ ,  $C_{\text{AKE1}(2)}(\theta_m)$  (см. (5)) и балансирующего тока 1-го уровня  $i_{\delta a n}^{(1)}(\theta_m)$ , являющегося результатом решения задачи 1.1, определенные компоненты вектора управления  $i_{\text{VIID}}(\theta_m)$  (9), а именно:

$$\begin{split} i_{\text{AKE1}}(\theta_{m}) &= \left(i_{\text{AKE1}(1)}^{(-)}(\theta_{m}), \quad i_{\text{AKE1}(1)}^{(-)}(\theta_{m}), \, i_{\text{AKE1}(2)}^{(-)}(\theta_{m}), \, i_{\text{AKE1}(2)}^{(-)}(\theta_{m}) \right) = \\ &= G_{\text{AKE1},\theta_{m}} \left[ C_{\text{AKE1}(1)}(\theta_{m}), \, C_{\text{AKE1}(2)}(\theta_{m}), \, i_{\text{GeV}}^{(1)}(\theta_{m}), \, i_{\text{CC}}^{\text{HOM}}(\theta_{m}) \right], \end{split} \tag{48}$$

минимизирующие отклонение балансирующего тока 2-го уровня  $i_{\text{бал}}^{(2)}(\theta_m)$  от  $i_{\Gamma C}^{\text{вом}}(\theta_m)$  с учетом (23), (28)-(33) и с учетом набора ситуаций и правил переходов из одной ситуации в другую (34)-(45) при  $i=1, j\in\{1,2\}$ , т.е. в каждый текущий момент времени  $\theta_m$  решается следующая задача оптимизации:

$$\min_{\substack{i_{\text{AKB}}, (s_m) = \\ = \sigma_{\text{AKB}}, \theta_m [G_{\text{AKB}}, (s_m) = \\ i_{\text{San}}(s_m) = \\ i_{\text{San}}(s_m) = \\ i_{\text{San}}(s_m), c_{\text{AKB}}, c_{\text{AKB}}, c_{\text{SAKB}}, c_{\text{SAKB$$

 $3a\partial aua$  1.3 — задача поддержания текущей величины балансирующего тока 3-го уровня  $i_{\delta an}^{(3)}(\theta_m)$  в окрестности номинального  $i_{\Gamma\!\Gamma}^{\rm HOM}(\theta_m)$ . Данная задача формулируется следующим образом: требуется найти такой алгоритм  $G_{AKE_2,\theta_m}$ , вырабатывающий в каждый текущий момент времени  $\theta_m$ , на основе текущей информации  $C_{AKE_2(1)}(\theta_m)$ ,  $C_{AKE_2(2)}(\theta_m)$  (см. (5)) и балансирующего тока 2-го уровня  $i_{\delta an}^{(2)}(\theta_m)$ , являющегося результатом решения задачи 1.2, определенные компоненты вектора управления  $i_{ymp}(\theta_m)$  (9), а именно:

$$i_{AKB2}(\theta_{m}) = \left(i_{AKB2(1)}^{(-)}(\theta_{m}), \quad i_{AKB2(1)}^{(-)}(\theta_{m}), i_{AKB2(2)}^{(-)}(\theta_{m}), i_{AKB2(2)}^{(-)}(\theta_{m})\right) =$$

$$= G_{AKB2,\theta_{m}} \left[ C_{AKB2(1)}(\theta_{m}), C_{AKB2(2)}(\theta_{m}), i_{\delta ext}^{(2)}(\theta_{m}), i_{\Gamma C}^{HOM}(\theta_{m}) \right],$$
(50)

минимизирующие отклонения балансирующего тока 3-го уровня  $i_{\text{бал}}^{(3)}(\theta_m)$  от  $i_{\text{ГС}}^{\text{ком}}(\theta_m)$  с учетом (24), (28)-(33) и с учетом набора ситуаций и правил переходов из одной ситуации в другую (34)-(45) при  $i=2,j\in\{1,2\}$ , т.е. в каждый текущий момент времени  $\theta_m$  решается следующая задача оптимизации:

$$\min_{\substack{i_{\text{AKB2}},\theta_{m}:[C_{\text{AKB2}}(\rho_{m})]=\\i_{\text{3an}}(\rho_{m}),\ C_{\text{AKB2}}(\rho_{m}),\\i_{\text{3an}}(\rho_{m}),\ i_{\text{TC}}^{\text{EOM}}(\rho_{m}),\ i_{\text{TC}}^{\text{BOM}}(\rho_{m})}} \left\{ J_{\text{бал,}\theta_{m}}^{(3)} = \left(i_{\text{бал,}}^{(3)}(\theta_{m}) - i_{\text{TC}}^{\text{HDM}}(\theta_{m})\right)^{2} \middle| \text{ с учетом (24),}} \right.$$

$$(28) - (33),\text{и с учетом набора ситуаций и правил переходов из одной ситуации в другую (34) - (45)}$$

$$\text{при } i = 2, j \in \{1, 2\} \ \right\}.$$

$$(51)$$

Задача 1.4— задача поддержания текущей величины перетока  $i_{\Gamma C}^{(-,-)}(\theta_m)$  в окрестности номинального  $i_{\Gamma C}^{\text{ном}}(\theta_m)$ . Данная задача формулируется следующим образом: требуется найти такой алгоритм  $G_{\Gamma C,\theta_m}$ , вырабатывающий в каждый текущий момент времени  $\theta_m$ , на основе балансирующего тока 3-го уровня  $i_{\text{бал}}^{(3)}(\theta_m)$ , являющегося результатом решения задачи 1.3, определенные компоненты вектора управления  $i_{\text{упр}}(\theta_m)$  (9), а именно:

$$i_{\mathsf{BH},\mathsf{BH}}(\theta_m) = \left(i_{\mathsf{BH}}^{(-)}(\theta_m), \ i_{\mathsf{BH}}^{(-)}(\theta_m)\right) = G_{\mathsf{BH},\mathsf{BH},\theta_m} \left[i_{\mathsf{SAM}}^{(3)}(\theta_m), \ i_{\mathsf{\GammaC}}^{\mathsf{HOM}}(\theta_m)\right], \tag{52}$$

минимизирующие отклонение перетока  $i_{\Gamma C}^{(-,-)}(\theta_m)$  от номинального  $i_{\Gamma C}^{\text{вом}}(\theta_m)$  за счет минимальной частоты переключения устройств БН, БИ с учетом допуска (20), т.е. в каждый текущий момент времени  $\theta_m$  решается следующая задача оптимизации:

й момент времени 
$$\theta_m$$
 решается следующая задача оптимизации:
min
$$i_{\text{БИ, БH, }(\hat{r}_m)} = \left\{ J_{\Gamma C,\hat{r}_m} = \left( i_{\Gamma C}^{(-,-)}(\theta_m) - i_{\Gamma C}^{\text{HOM}}(\theta_m) \right)^2 \middle| \text{ с учетом (20)} \right\}. (53)$$

$$= \mathsf{G}_{\text{БИ, БH, }\theta_m} \left[ i_{\hat{s}_{\text{AR}}}^{(2)}(\hat{r}_m), i_{\Gamma C}^{\text{HOM}}(\hat{r}_m) \right]$$

Таким образом, алгоритм оптимального ситуационного управления  $G_{AOCY,\theta_m}$  энергетическим балансом в управляемой системе НРПМ, получается в результате последовательного решения подзадач 1.1 - 1.4, т.е. (47), (49), (51), (53), укрупненная функциональная схема которого показана на рисунке 5.

Примечание 3. Для решения подзадач (49), (51), (53) используется аппарат вычислительных сетей Петри [13-15], в результате чего получаются самоорганизующиеся алгоритмы оптимального ситуационного управления  $G_{ADCS}$ .

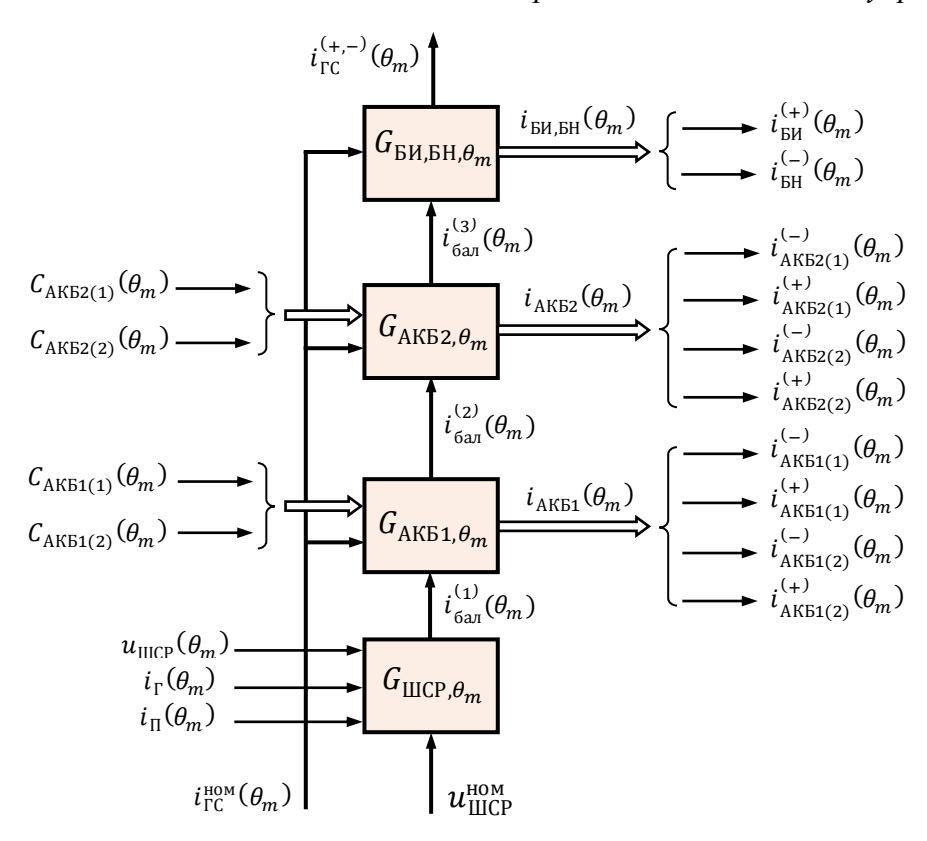


Рисунок 5 — Укрупненная функциональная схема алгоритма оптимального ситуационного управления  $G_{\mathtt{ADCY},\theta_{\mathtt{ML}}}$  энергетическим балансом в управляемой системе НРПМ

#### Заключение

В настоящей работе принятая структура системы накопления и распределения потоков мощностей НРПМ позволяет обеспечить простоту изменения ее конфигурации путем добавления/исключения в ее состав тех или иных компонентов (балластные источники БИ, балластные нагрузки БН, генерирующие установки с ВИЭ и нагрузи разного типа), а также добавление/исключение возможности взаимодействия НРПМ с глобальной сетью ГС.

Для принятой структуры построена математическая модель с учетом ситуаций, возникающих в процессе циркуляции потоков в системе НРПМ, сформулирована задача синтеза алгоритма оптимального ситуационного управления АОСУ энергетическим балансом в ней и предложена схема ее решения, которая позволяет получить многоуровневый алгоритм  $G_{\text{AOCY},\theta_m}$ , m=0,1,...,M-1, состоящий из последовательно функционирующих алгоритмов, т.е.  $G_{\text{AOCY},\theta_m}$ :

 $G_{\text{ШСР},\theta_m} \stackrel{i_{\text{SAT}}^{(1)}(\theta_m)}{\longrightarrow} G_{\text{АКБ1},\theta_m} \stackrel{i_{\text{SAT}}^{(2)}(\theta_m)}{\longrightarrow} G_{\text{АКБ2},\theta_m} \stackrel{i_{\text{SAT}}^{(2)}(\theta_m)}{\longrightarrow} G_{\text{БИ,БН},\theta_m} \stackrel{i_{\text{ГС}}^{(+,-)}(\theta_m)}{\longrightarrow},$  выполняющих следующие функции:  $G_{\text{ШСР},\theta_m}$  — поддержание текущей величины напряжения конденсатора  $u_{\text{ШСР}}(\theta_m)$  (узла — шины сборки и распределения ШСР) путем выдачи оптимального управляющего воздействия в виде балансирующего тока  $i_{\text{бал}}^{(1)}(\theta_m)$ ;  $G_{\text{АКБ1},\theta_m}$ ,  $G_{\text{АКБ2},\theta_m}$ ,  $G_{\text{БИ,БН},\theta_m}$  — оптимальные ситуационные алгоритмы для последовательной реализации балансирующего тока  $i_{\text{бал}}^{(1)}(\theta_m)$  с использованием элементов системы НРПМ соответственно (АКБ1(1), АКБ1(2)), (АКБ2(1), АКБ2(2)), (БИ, БН) с целью поддержания перетока  $i_{\text{ГС}}^{(-,-)}(\theta_m)$  между ГС и НРПМ в окрестности номинального  $i_{\text{ГС}}^{\text{REOM}}(\theta_m)$ .

и НРПМ в окрестности номинального  $i_{\Gamma \Gamma}^{\text{вом}}(\theta_m)$ .

Алгоритм  $G_{\text{ADCS},\theta_m}$  обладает тем , что при подборе и изменении конфигурации системы НРПМ на этапе проектирования систем АРГЭК для различных регионов с

соответствующими им ВИЭ, его структура легко модифицируется, что важно при создании системы автоматизированного проектирования автоматизированных распределенных гибридных энергокомплексов АРГЭК.

### Литература:

- 1. M.Asanov, S.Asanova, M.Safaraliev, I. Zicmane, S. Beryozkina, S. Suerkulov. Design methodology of intelligent autonomous distributed hybrid power complexes with renewable energy sources. International Journal of Hydrogen Energy. Volume 48, Issue 81, 22 September 2023. Pages 31468-31478.
- 2. Лукутин Б.В. Способы снижения расхода топлива дизельных электростанций / Лукутин Б.В., Шандарова Е.Б. // Современные проблемы науки и образования. 2013. №2. С. 139.
- 3. Обухов С.Г. Двухконтурный накопитель энергии для гибридных энергетических систем с возобновляемыми источниками энергии / Обухов С.Г., Плотников И.А., Ибрагим А., Маслов В.Г. // Известия Томского университета. Инжиниринг георесурсов. −2020. − Т. 331. № 1. − С. 64–76.
- 4. Лукутин Б.В. Способы снижения расхода топлива дизельных электростанций / Лукутин Б.В., Шандарова Е.Б. // Электричество. 2012. №6. С. 24–29.
- 5. Asanova S.M. Optimization of the structure of autonomous distributed hybrid power complexes and energy balance management in them / Asanova S.M., Kokin S.E., Dmitriev S.A., Safaraliev M., Arfan Kh., Zhabudaev T., Satarkulov T.K. // International Journal of Hydrogen Energy. 2021. Volume 46, Issue 70. P. 34542-34549.
- Asanova S.M., Ahyoev J.S, Askarbek N., Suerkulov S.M., Asanova D.U. Safaraliev M. Method for designing drop-of-wire recognition systems on sections of undistorted two-wire power transmission lines. IOP Conference Series: Materials Science and Engineering. 15. Cep. "15th International Conference on Industrial Manufacturing and Metallurgy" 2020. C. 012114.
- 7. Сатаркулов К.А., Асанова С.М. и др. Токопроводящая жила проводов и кабелей. Патент КG № 1187. 2009 г.
- 8. Asanov M., Kokin S., Asanova S.M., Satarkulov K., Dmitriev S., Safaraliev M. The use of Petri computing networks for optimization of the structure of distribution networks to minimize power losses. Energy Reports. Vol. 6, Supplement 9, December 2020, 1337-1343
- 9. Asanova S., M.Safaraliev, I. Zicmane, S. Suerkulov, S. Kokin. Improving the reliability of the energy balance management process in hybrid power complexes with green hydrogen and energy storage. International Journal of Hydrogen Energy. 2024. T. 61. C. 1485-1494.
- 10. Asanov M., Asanova S., Semenenko S., Matrenin P., Safaraliev M., Rusina A. Optimal amount of information determination for power system steady state estimation. Energy Reports, Volume 8, Supplement 1, April 2022, Pages 1085-1092
- 11. Куо Б. Теория и проектирование цифровых систем управления/ Пер. с англ. М.: Машиностроение, 1986. 448 с.
- 12. Медич Дж. Статистически оптимальные линейные оценки и управление. / Пер. с англ.// Под ред. А.С. Шаталова. М.: «Энергия», 1973. С. 440.
- 13. М.С. Асанов, С.М. Асанова, К.А. Сатаркулов. Структурная модель вычислительных сетей Петри. Известия КГТУ. Бишкек, 2008. №13. С. 78–85
- 14. М.С. Асанов, С.М. Асанова, К.А. Сатаркулов. Вычислительные компоненты, язык описания и правила функционирования вычислительных сетей Петри. Известия КГТУ. Бишкек, 2008. №13. С. 85–95.

- 15. Асанова С.М. Развитие сетей Петри для разработки самоорганизующихся многокомпонентных вычислительных алгоритмов решения задач электроэнергетики / Проблемы автоматики и управления, НАН КР, июль 2022, No 2 (44). –С. 15–21.
- 16. Сафаралиев М.Х., Матренин П.В., Дмитриев С.А., Асанова С.М., Ахьеев Дж.С. Разработка моделей среднесрочного прогнозирования электропотребления в изолированно работающих энергосистемах на основе ансамблевых методов машинного обучения / Известия НТЦ ЕДИНОЙ ЭНЕРГЕТИЧЕСКОЙ СИСТЕМЫ. 2021. №1 (84)). –С.32–39.